



# كلية العلوم

## القسم : المفہیماء

## السنة : الرابعة



# {{ A to Z }} مکتبہ

# Facebook Group : A to Z مكتبة



كلية العلوم ، كلية الصيدلة ، الهندسة التقنية

0931497960

15

يمكنكم طلب المحاضرات برسالة نصية (SMS) أو عبر (What's app-Telegram) على الرقم 0931497960

## الفصل العاشر - الناقلية الفائقة Superconductivity

مقدمة:

- لقد اكتشفت الناقلية الفائقة، التي تعني أنه بمقدور التيار الكهربائي التدفق في بعض المواد بمقاومة صفرية، عام 1911 على يد الفيزيائي الألماني هيك كامرلينغ أونس Heike Kamerling Onnes بعد فترة قصيرة من الإعلان عن إمكانية إسالة الهليوم ومن ثمَّ بلوغ درجات الحرارة المنخفضة المطلوبة.
  - حصل الاكتشاف عندما أراد أونس دراسة مقاومة النبض في درجة حرارة منخفضة،
    - حيث انخفضت المقاومة عند درجة الحرارة 4.2 K إلى قيمة صغيرة لم تكن قابلة للقياس، وكان الاكتشاف مثلاً جيداً على نتيجة مذهلة، وغير متوقعة تماماً، ومهمة عملياً.
    - يبدو أن الانتقال من حالة الناقلية العادية إلى حالة الناقلية الفائقة يُعدُّ انتقالاً طورياً للمعدن وأن بعض الخصائص تتغير بسبب هذا الانتقال.
  - تم بذل الكثير من الجهود التجريبية والنظرية بهدف التوصل إلى تفسير مجهرى للناقليه الفائقة، واستغرق الأمر لأكثر من 40 عاماً حتى وضعت المفاهيم الأساسية لهذه النظرية من قبل باردين John Robert Schrieffer وشريفير Leon Cooper وكوبر John Bardeen بنظرية باردين - كوبر - شريفير (BCS) للناقليه الفائقة.
  - ❖ تكمن الفكرة الرئيسية لنظرية BCS في أن حاملات الشحنة في ناقل فائق تتكثف في حالة أساسية (أرضية) واحدة، مكونةً موجة مادية متماسكة وماكريوسكوبية، أي أنها تكون تابعاً موجياً كمومياً على المستوى الماكريوسكوبى.
  - ❖ التوابع الموجية الماكريوسكوبية معروفة اليوم في فروع الفيزياء الأخرى.
  - مثال ذلك، ضوء الليزر، حيث يوجد الكثير من الفوتونات في نفس الحالة الكمومية ويتم بلوغ التماسك الماكريوسكوبى.
  - وثمة أمثلة أخرى، هي الإسالة الفائقة Superfluidity، كحالة سائل- $^4\text{He}$ ، الكمومية منخفضة درجة الحرارة، التي تضمن تدفقاً من دون أي احتكاك،
  - أو مثال تكثيف بوزه- اينشتاين حيث بمقدور الكثير من الذرات التجمع في حالة كمومية واحدة عند درجات حرارة منخفضة جداً.
- الجسيمات المكونة لهذه الحالات الكمومية الماكريوسكوبية هي بوزونات. والبوزونات لا تخضع لمبدأ الاستبعاد لباولي ويمكنها أن تتوارد بأكملها في نفس الحالة الكمومية. فالمشكلة الواضحة هنا، تكمن في أن الإلكترونات الموجودة في فلز لا يمكنها أن تفعل ذلك، لكونها فرميونات.
- ❖ لقد اتضح أن تجاوز هذه المشكلة يمكن في تشكيل أزواج ثنائية الإلكترون Two-electron Pairs، بحيث تمتلك عدداً صحيحاً من السبيبن، ومن ثمَّ تسلك سلوك البوزونات.

## 10-1 حقائق تجريبية أساسية تدعم مفهوم الناقليّة الفائقة

## 1-1-10 المقاومة الصفرية Zero Resistivity

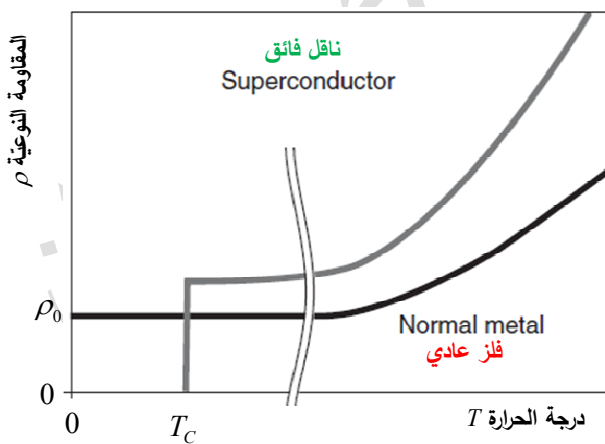
الظاهرة الأبرز المرتبطة بالناقليّة الفائقة بالطبع، هي تلاشي المقاومة النوعية عند درجة حرارة أقل من درجة حرارة حرجية  $T_c$ ، **معينة**. يوضح **الشكل (1-10)** علاقة المقاومة النوعية بدرجة الحرارة من أجل ناقلٍ فائقٍ وفلزٍ عاديٍ لا يُبدي الناقليّة الفائقة:

**أولاً** - تتناقص المقاومة النوعية لفلزٍ عاديٍ عند انخفاض درجة الحرارة وتتوقف في نهاية المطاف عند قيمة ثابتة في درجة الصفر المطلق، وقد ناقشنا المنشأ الفيزيائي لهذا السلوك؛

- فالمقاومة النوعية لفلزٍ تنتج من نوافع موجودة في الشبكة البلورية،
  - كالذرارات الشائبة،
  - وعيوب الشبكة البلورية،
  - والاهتزازات الحرارية؛
- فمن أجل درجات حرارة أقل بكثير من درجة حرارة ديبابي، **تتحمّد** الاهتزازات بفعالية،
- ولكن الشوائب والعيوب موجودة حتى في درجة الحرارة الصفرية ولذلك من المتوقع أن تبقى المقاومة النوعية محدودةً.

**ثانياً** - أمّا من أجل ناقلٍ فائقٍ فالمشهد مختلف تماماً:

- يحصل السلوك ذاته عند درجات الحرارة الأعلى من درجة الحرارة الحرجية،  $T_c$ ، كما من أجل فلزٍ عاديٍ،
- ولكن عند الدرجة الحرارة الحرجية  $T_c$  **تنخفض** المقاومة النوعية للناقل الفائق إلى قيمة صغيرة لا يمكن قياسها.



الشكل (1-10): تابعية المقاومة النوعية لدرجة الحرارة من أجل فلزٍ عاديٍ وناقلٍ فائقٍ. لاحظ أن محور درجة الحرارة مقطوع للدلالة على وجود مجال درجة حرارة عريض للانتقال إلى الناقليّة الفائقة والزيادة الكبيرة للمقاومة النوعية المترسبة حرارياً.

والفاصل الحراري من أجل الانتقال صغيرٌ جداً، أقل من  $10^{-3}$  K ( $1\text{ mK}$ ) → عرض مجال الانتقال يتعلق إلى حدٍ ما، بنوعية العينة، **ولكن درجة حرارة الانتقال هي ثابت مميز للمادة**.

تبعد الناقليّة الفائقة ظاهرة عامة، كما يتضح من **الشكل (1-10)**، الذي يُعَدُّ جدولًاً دوريًاً للعناصر حيث تم إبراز عناصر الناقليّة الفائقة بلونٍ أسودٍ غامقٍ. بالطبع، الجدول لا يعطي أي

تؤكد على أن العناصر الأخرى ليست نواقلاً فائقة؛ إذ من الممكن ألا يكون قد تم بلوغ شرط درجة الحرارة المنخفضة بعد. في الواقع، اكتشفت الناقلية الفائقة في Li في الضغط النظامي مؤخراً في عام 2007 عند درجة حرارة أقل من  $0.4 \text{ mK}$ . وفي كل الأحوال، ثمة مؤشرات عامةٍ تبرز من الجدول بوضوح تامٍ؛

الشكل (2-10): جدول دوري للعناصر يحوي عناصر فائقة الناقلية (اللون الأسود الغامق). تشير الرموز الفاتحة إلى أن العناصر تُصبح فائقة الناقلية فقط عند تعديل بنيتها في الضغط العالية.

- ❖ فالمؤشر الأول يكمن في أن الفلزات التي تُعدُّ نواقلاً جيدة ليس بالضرورة أن تكون نواقلاً فائقة. → في الواقع، أفضل النواقل؛ مثل Ag و Cu لم تُكتشف أنها نواقل فائقة.
- ❖ والمؤشر الآخر، يكمن في أن العناصر الفرومغناطيسية ليست نواقل فائقة، مفترضين أن الفرومغناطيسية والناقلية الفائقة، تقنيان بعضهما بعضاً **بالتبادل**، بشكلٍ أو بأخر. → فعلاً، يبدو أن تلوث عينة فائقة الناقلية بكمية صغيرة جداً من شوائب مغناطيسية، يمكن أن يُخرب الناقلية الفائقة.

- تُعدُّ درجة الحرارة الحرجة  $T_C$  صغيرة جداً من أجل كل العناصر؛
- فأعلى درجة حرارة هي من أجل النببيديوم Nb حيث تبلغ  $T_C = 9.2 \text{ K}$ .
  - ويمكن أن تكون  $T_C$  أعلى من أجل بعض **الخليط الفلزية**، حيث تزيد عن 40 K.
  - ويمكن أن تكون أعلى بكثير من أجل بعض **الأكسيد الفلزية الانتقالية**، ولذلك تسمى بالنواقل الفائقة المرتفعة درجة الحرارة.

#### الإمكانيات الأخرى لبلوغ الناقلية الفائقة:

- 1) بعض العناصر لا تنتقل إلى حالة الناقلية الفائقة عند ضغط الوسط المحيط، ولكن يمكن جعلها فائقة الناقلية بخضوعها لضغطٍ أكبر؛ يُشار إلى هذه العناصر في **الشكل (10-2)** بلون رمادي فاتحٍ؛ إذ يمكن للضغط العالي أن يؤدي إلى **تغيير بنية البلور** لتحويلها إلى ناقلٍ فائقٍ، → ولكن يجب أن يكون واضحاً، أن البنية البلورية على هذا النحو ليست هي المهمة عند الانتقال إلى طور الناقلية الفائقة، بل **البنية الإلكترونية والاهتزازات** كما سنرى لاحقاً.

→ ومع ذلك، إذا تبلورت العناصر في بني بلوري مختلفة، بسبب الضغط العالي مثلاً، فإنها

تمتلك بنيات إلكترونية مختلفة أيضاً، ودرجة أقل، خصائص اهتزازية مختلفة.

(2) هناك إمكانية أخرى لبلوغ الناقلية الفائقة في المواد، التي لا تُعدُّ نوافلاً فائقة في الحالة العادية،

تكمن في إنماطها على شكل أفلام رقيقة جداً Ultrathin Films أو عناقيد صغيرة من الذرات.

تبقي الأفلام الرقيقة أو العناقيد محافظةً على تركيبها البلوري كما هو في حالة المادة الحجمية في الشروط النظمية، ولكن بنيتها الإلكترونية وسلوك الناقلية الفائقة يمكن أن تكون مختلفة .....

(3) وأخيراً، يمكن بلوغ الناقلية الفائقة في الأجسام الصلبة التي لا تمتلك أي انتظام بلوري بعيد المدى Long-Range Order، أي الأجسام الصلبة التي تسمى بالأمورف Amorphous.

مثال ذلك، البزموت Bi، نصف فلز، لا يُعدُّ نوافلاً فائقاً في تركيبه البلوري الحجمي العادي، ولكنه كذلك عندما يكون فلماً رقيقاً أمورفياً.

كيف لنا أن نعرف أن المقاومة النوعية معروفة حقيقةً في حالة الناقلية الفائقة وأنها ليست مجرد قيمة صغيرة جداً؟ في الواقع، لا يمكن معرفة ذلك، ولا يمكن الإجابة على هذا السؤال من التجارب التي أجريت. ولكن يمكن محاولة إيجاد الحد العلوي للمقاومة النوعية.

→ إذ تكمن المقاربة التجريبية لذلك في تحرير تيار في حلقة فائقة الناقلية من خلال تطبيق حقل

مغناطيسي؛

→ وعندما، من المرجح أن يتذبذب هذا التيار بصورة دائمة من دون أي تناقض.

→ فرصد التناقض لفترة طويلة من الزمن (تمتد لسنوات!)، يمكّنا من وضع قيد أعظم على المقاومة النوعية. يُعتقد أن هذا القيد الأعظم يبلغ حالياً نحو  $\Omega \cdot m^{-25}$ .

وبصرف النظر عن درجة الحرارة، ثمة عاملان آخران مهمان، يمكّنهما تحرير حالة الناقلية الفائقة؛ هما،

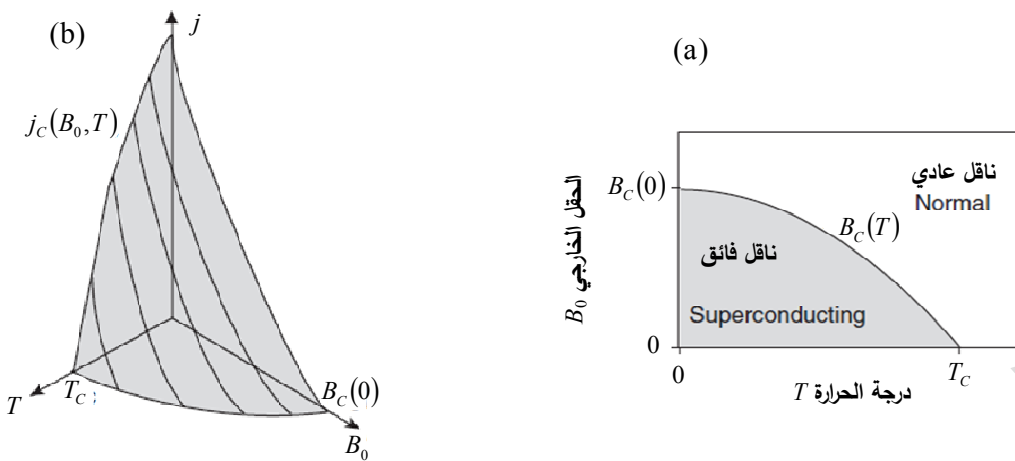
حقل مغناطيسي يُطبق على عينة فائقة الناقلية وتيار كهربائي متذبذب فيها، كما يوضح الشكل (3a-10) :

▪ فمن أجل درجات حرارة منخفضة وحقول مغناطيسية ضعيفة، يقع الجسم الصلب في المنطقة الواقعة تحت المنحني في حالة الناقلية الفائقة.

▪ ومن أجل حقل مغناطيسي قوي جداً أو درجة حرارة مرتفعة جداً، يفقد الجسم الصلب الناقلية الفائقة ويكون في المنطقة الواقعة فوق المنحني.

▪ فمن أجل درجة حرارة محددة أقل من درجة الحرارة الحرجة،  $T < T_C$ ، يمكننا أن نعيّن حقلًا مغناطيسياً حرجاً  $B_C(T)$ ، Critical Magnetic Field، يبدو أنه يساوي:

$$B_C(T) = B_C(0) \left[ 1 - \left( \frac{T}{T_C} \right)^2 \right]. \quad (1-10)$$



الشكل (3-10): (a) التأثير المشترك لحقل مغناطيسي ودرجة حرارة محددة على ناقل فائق، في المنطقة الواقعة تحت المنحني، أي من أجل درجات حرارة منخفضة وحقول خارجية ضعيفة، الجسم الصلب ناقل فائق وفوق المنحني ناقل عادي. (b) الأمر ذاته، إضافةً إلى تأثير كثافة تيار محددة.

إن تياراً متداولاً في عينة، يُعبر عنه بكثافة تيار  $j$ ، يؤثر بشكل مشابه لتأثير حقل مغناطيسي. فمن أجل كثافة تيار كبيرة جداً، تنهار الناقلة الفائقية، ومرة أخرى، **كثافة التيار الحرجة**،  $j_c$ ، هذه **تابعة** لدرجة الحرارة. كما أنها **تابعة** لـ **الحقل المغناطيسي المطبق**،  $B_0$ ، كما يوضح [الشكل \(3b-10\)](#).

يتم **بلغ حالة الناقلة الفائقية فقط من أجل درجات حرارة منخفضة، وكثافات تيار منخفضة، وحقول مغناطيسي منخفضة**. يمكن بطريقة مشابهة، إظهار الحقل المغناطيسي الحرج كتابع لدرجة الحرارة وكثافة التيار بالطبع.

لسوء الحظ، **كثافات التيار والحقول المغناطيسية الحرجة** من أجل معظم الناقلات الفائقية **العنصرية** صغيرة جداً، بحيث **لا تسمح** بأي تطبيقات تقنية ذات معنى؛ لذا نأخذ على سبيل المثال،

- فالملحوظات الكهربائي المستعمل في **ماسح التجاوب المغناطيسي الطبيعي** (المرنان المغناطيسي):  
 → يجب أن يولّد هذا المغناطيسي حقلًا كبيرًا **تُفوق** شدته  $1 \text{ T}$ ، وللحصول على هذا حقل لا بد من تأمين تيارات بكثافة كبيرة جداً.  
 → وبناء مثل هذه المغناط من **النواقل العادي** غير ممكن بسبب كمية الحرارة الكبيرة التي تُنتجها الضياعات الأولية، ثم إن بناؤها من مواد فائقة الناقلة ليس بسيطًا أيضًا بسبب **كبير** الحقل المغناطيسي وارتفاع كثافات التيار.
- فعوضاً عن **النواقل الفائقية العادي** تُستخدم عادة **خلائط فائقة الناقلة** يمكنها أن تمتلك حقولاً حرجة تصل إلى  $50 \text{ T}$  وكثافة تيار حرجة تبلغ  $10^{11} \text{ A} \cdot \text{m}^{-2}$  عند درجة حرارة الهليوم **السائل**.

## 2-1-10 مفعول میسنر The Meissner Effect

يُعَدُّ مفعول ميّسر خاصية أساسية أخرى للناقل الفائق مفادها أن الناقل الفائق يُبَدِّي دايامغنتيسية مثالية، أي أن طواعيته المغنتيسية **تساوي** سالب واحد،  $\chi_m = -1$ ، ومن ثم تُمْعَنَط الناقل الفائق،  $\bar{M} = -\bar{B}_0 / \mu_0$ ، يلغى الحقل الخارجي،  $\bar{B}_0$ ، **داخله بالكامل**. إن منشأ التمغنط الماكروسکوبي،  $\bar{M}$ ، في الناقل الفائق مختلف تماماً عن منشأ التمغنط الماكروسکوبي في المواد الدايامغنتيسية العادية.

- فالدایامغناطیسیة في المواد العادیة تنتج من عزوم مغناطیسیة **میکرو-سکوبیة** تتحرّض بالحقل المغناطیسی الخارجی **في كامل** الجسم الصلب، أمّا التمغنط،  $\bar{M}$ ، في ناقلٍ فائقٍ فینتّج من تیارات فائقة **ماکرو-سکوبیة**، تتدفق **في الطبقة السطحیة للعنیة** وتبقی **داخلها** خالیاً من الحقل المغناطیسی.

تفترض الطوعية المغناطيسية **سالب واحد** أن النواقل الفائقة تتدفع بعيداً عن الحقول المغناطيسية. وفي هذا السياق قد يكون مفعول ميسنر ملولاً لنا من تجارب الرفع الديامغناطيسي، التي يرتفع فيها ناقل

ومن المهم جداً، أن نفهم أن مفعول ميسنر **مفعول حقيقي جديد** وليس ناتجاً من تلاشي المقاومة التي يمكن أن تسبب تياراً فائقاً لإبقاء داخل العينة حالياً من الحقل المغناطيسي.

ثمة اختلاف بين مادة (افتراضية) تُصبح ناقلاً **مثالياً** بمقاومة نوعية تساوي الصفر،  $\rho = 0$  ، تحت درجة الحرارة الحرجة،  $T_C$  ، **وناقل فائق حقيقى**، يُظهر مفعول ميسنر أيضاً.

فمن أجل ناقلٍ مثاليٍ، تُعطى فizياء هذا المفعول بقانون فارادي بشكله التكاملـي الآتي:

$$\oint \vec{E} \cdot d\vec{l} = -\frac{d\Phi_B}{dt} = -\frac{d}{dt}(\vec{B} \cdot \vec{A}), \quad (2-10)$$

حيث يؤخذ التكامل على طول مسار مغلق في الناقل: لا يمكن لحقن كهربائي أن يوجد على طول هذا مسارٍ مغلقٍ من أجل ناقلٍ مثاليٍ، ما يعني أن كامل التكامل يتلاشى والتدفق المغناطيسي من خلال حلقة

التكامل ثابت. يوضح الشكل (4a-10) هذا السلوك لناقل مثالٍ واقع في حقل مغنتيسي:

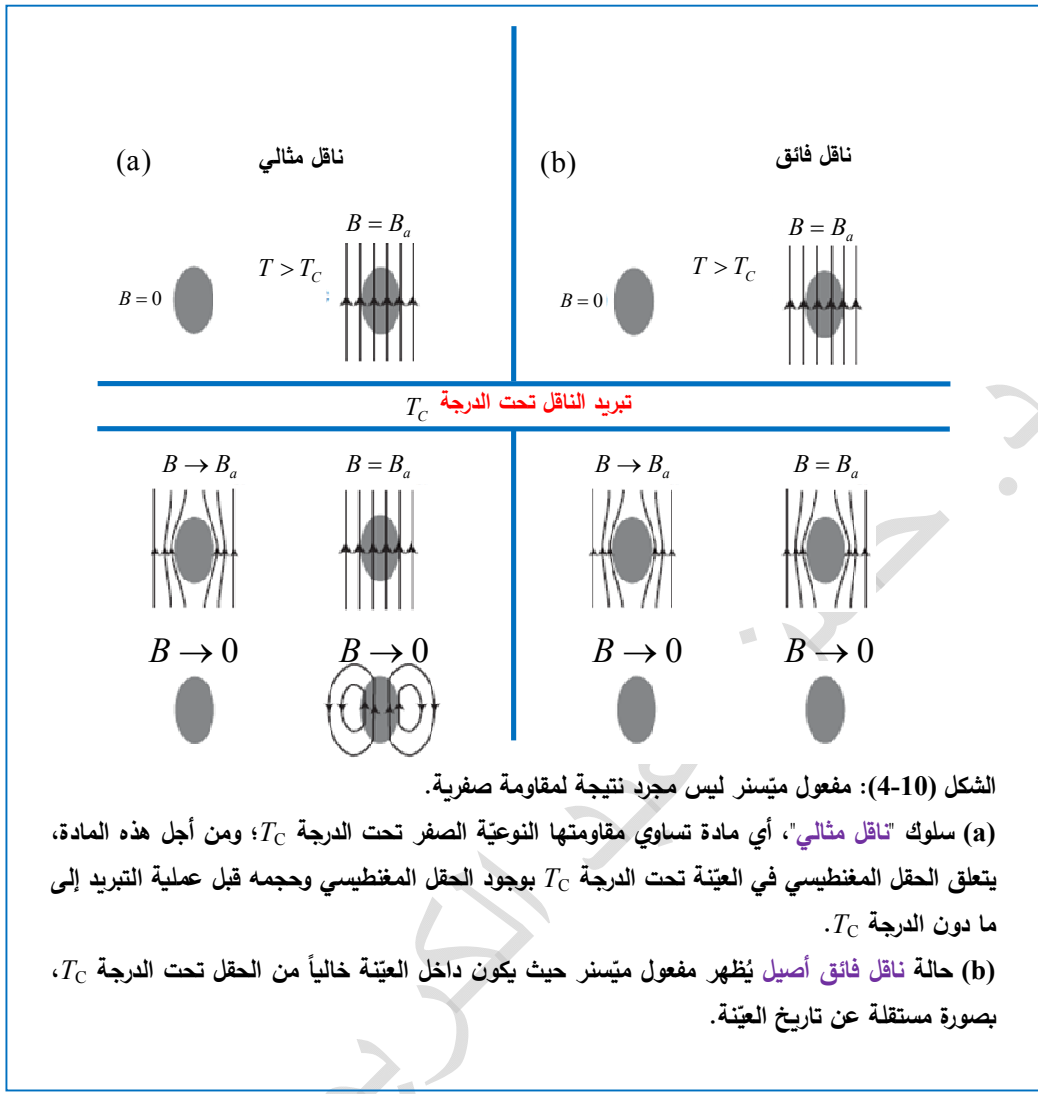
- **نبدأ بعينتين** تقعان فوق الدرجة الحرجة  $T_C$ ; الأولى تقع في حقلٍ مغناطيسيٍّ،  $\vec{B}_a$ ، والأخرى في منطقة خالية منه،

- ثم ثبّر كلا العينتين إلى ما دون  $T_c$ ، حيث تتحفظ المقاومة النوعية للناقل المثالي حتى الصفر.

• ثم يطبق حقل مغناطيسي على الناقل المثالي الذي كان سابقاً في منطقةٍ خاليةٍ منه بعد عملية التبريد إلى ما دون  $T_c$ ، فنلاحظ أنَّ كامل الحقل يُطرد بسبب قانون فاراداي ويبقى القسم الداخلي من الناقل خالياً منه، أمّا من أجل العينة الأخرى فلا يتغير شيئاً لأنَّ الحقل كان قد تغلغل فيها قبل

الانتقال إلى ما دون  $T_C$

لدرس الآن ناقلاً فائقاً حقيقةً يُبدي مفعول ميسنر، كما يوضح الشكل (4b-10):



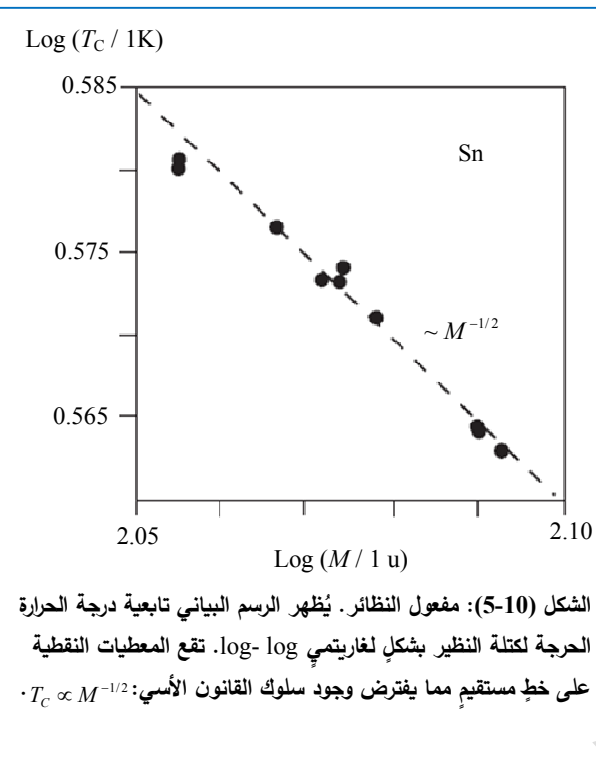
الشكل (10-4): مفعول ميسنر ليس مجرد نتائج مقاومة صفرية.

(a) سلوك "ناقل مثالي"، أي مادة تساوي مقاومتها النوعية الصفر تحت الدرجة  $T_c$ ؛ ومن أجل هذه المادة، يتعلق الحقل المغناطيسي في العينة تحت الدرجة  $T_c$  بوجود الحقل المغناطيسي وحجمه قبل عملية التبريد إلى ما دون الدرجة  $T_c$ .

(b) حالة ناقل فائق أصيل يظهر مفعول ميسنر حيث يكون داخل العينة خالياً من الحقل تحت الدرجة  $T_c$ ، بصورة مستقلة عن تاريخ العينة.

- من جديد نبدأ بعينتين في الحالة الطبيعية؛ واحدة من دون تغلغل لحقل مغناطيسي والأخرى بوجود هذا الحقل.
- بما أن العينتين ثُبِّرْدَان إلى ما دون  $T_c$ ، ففي كلتا الحالتين يُطرد الحقل المغناطيسي منهما، أي أنَّ داخل الناقل الفائق خال من الحقل، بصرف النظر عن تاريخ العينة.
- وبالطبع، حالما يُفصل الحقل المطبق على العينة يبقى داخل هذه العينة خالياً منه.
- لقد كان الرصد التجاري لهذا سلوكِ **ناقل فائق** خطوة مهمة لفهم الناقلية الفائقة، لأنَّ هذا الرصد سمح بوصف حالة الناقلية الفائقة؛ كطوري ترموديناميكيٍّ وحيدٍ يمكن وصفه ببعضه متحولات ماكروسโคبية. وهذا ما لم يسمح به تمغناط عينةٍ مرتبطة ب بتاريخها السابق.
- خلاصة الكلام أنَّ مفعول ميسنر مفعولٌ أصيلٌ وحقيقيٌّ في حد ذاته لم تفترضه المقاومة النوعية **الصفرية**. فأي نظرية للناقلية الفائقة يجب أن تكون قادرةً على تفسير ليس تدفق تيارٍ من دون مقاومةً وحسب، بل مفعول ميسنر أيضاً.

### 3-1-10 مفعول النظائر The Isotope Effect



نعرض هنا ما يسمى **مفعول النظائر** لكتلة كونه  
يُفتح مفتاحاً مهماً لمعالجة النظرية المجهريّة  
للناقليّة الفائقّة؛ يوضّح **الشكل** (5-10) هذا  
المفعول حيث يُظهر هذا الشكل درجة الحرارة  
الحرجة للقصدير **Sn** **تابع لكتلته الذريّة**،  
 $M$ ، التي يمكن أن تتغيّر من أجل نظائره  
المختلفة.

في الواقع، يُمثّل **الشكل** (5-10) رسمًا  
تخطيطيًّا (لغاريتمي - لغاريتمي) تظهر  
المعطيات فيه **خط مستقيم مكافئ** لسلوك  
قانون القوى؛  $T_c \propto 1/\sqrt{M}$   
إن حقيقة ارتباط  $T_c$  بكتلة الذريّة للنظير  
 $M$  ملفت للنظر:

✓ فتبعًا لتقريب بورن - أوتبهيمير، يجب ألا

ترتبط **البنية الإلكترونيّة** لجسم صلب بكتلة الأيونات، بل ترتبط بطبيعتها الكيميائيّة فقط.

✓ وخلافًا لذلك، تتعلق **الخصائص الاهتزازية** للجسم الصلب بكتلة الأيونات؛

فمن أجل هزّاز توافقى بسيط نعلم أن التواتر الزاوي للاهتزاز يساوى  $\omega = \sqrt{\gamma/M} = \gamma^{1/2} M^{-1/2}$ ، ما  
يعنى أن تواتر الاهتزاز مرتبط بالكتلة بنفس الطريقة التي تتعلق فيها  $T_c$  بهذه الكتلة. وهذا يفترض أن  
اهتزازات الشبكة البلوريّة للجسم الصلب تؤدي دوراً ما في الناقليّة الفائقّة.

### 2-10 بعض الأوجه النظرية للناقليّة الفائقّة

#### 1-2-10 النظريّة الشاذة للناقليّة الفائقّة Phenomenological Theory

لم تكن النظريّات الأولى للناقليّة الفائقّة **ذريّة**، إلا أنها أعطت للناقليّة الفائقّة شكلاً ماكروسكوبياً،  
يُفسيّر كلاً من الناقليّة بدون مقاومة ومفعول مييّسر. تم ذلك على يد الأخوين فريتز لندن Fritz London  
وهيّنر لندن Heinz London في عام 1935. ويمكن إجمال نظريّتهما بما يسمى **معادلتي لندن London Equations**.

إن بلوغ ناقليّة لانهائيّة من أجل غازٍ من الجسيمات المشحونة سهل جدًا في **النظريّة الماكروسكوبية**؛  
في الواقع، كانت معادلة الحركة في نموذج درودي من أجل الإلكترونات مطابقة لالمعادلة  
 $m_e(d\vec{v}/dt) = -e\vec{E}$  التي تؤدي إلى ناقليّة لانهائيّة؛ ولقدادي حدوث ذلك، وجب إدخال مفهوم زمان  
الاسترخاء.

معادلة لندن الأولى مطابقة للمعادلة  $m_e(d\vec{v}/dt) = -e\vec{E}$ ، ولكن يوجد **تمايز شكلي** يكمن في كتابتها الان بدلالة كثافة تيار،  $\vec{v} = qn_s \vec{j}$ ، عوضاً عن سرعة الإلكترون مفرد،  $\vec{v} = \vec{j}/qn_s$ ،

$$\frac{\partial \vec{j}}{\partial t} = \frac{n_s q^2}{m_s} \vec{E}, \quad (3-10)$$

حيث  $n_s$  كثافة جسيمات الناقل الفائق، و  $m_s$  كتلة الجسيم الناقل، و  $q_s$  شحنة الجسيم الناقل.<sup>1</sup> إذا أخذنا دوار طرفي هذه المعادلة وقمنا بضم الناتج إلى قانون فارادي، نحصل على المعادلة الآتية:

$$\frac{\partial}{\partial t} \operatorname{rot} \vec{j} = \frac{n_s q^2}{m_s} \operatorname{rot} \vec{E} \Rightarrow \frac{m_s}{n_s q^2} \frac{\partial}{\partial t} \operatorname{rot} \vec{j} = \operatorname{rot} \vec{E} = -\frac{\partial \vec{B}}{\partial t},$$

ومن ثم:

$$\frac{\partial}{\partial t} \left( \frac{m_s}{n_s q^2} \operatorname{rot} \vec{j} + \vec{B} \right) = 0. \quad (4-10)$$

يُصبح معنى العلاقة الأخيرة واضحاً إذا كاملنا طرفيها على مساحة مقطع عرضي،  $\bar{A}$ ، للجسم الصلب ثم استخدمنا مبرهنة ستوكس التكاملية، حيث نجد:

$$\frac{\partial}{\partial t} \left( \int \frac{m_s}{n_s q^2} \operatorname{rot} \vec{j} \cdot d\bar{A} + \int \vec{B} \cdot d\bar{A} \right) = \frac{\partial}{\partial t} \left( \oint \frac{m_s}{n_s q^2} \vec{j} \cdot d\bar{l} + \int \vec{B} \cdot d\bar{A} \right) = 0. \quad (5-10)$$

تحوي هذه النتيجة نوعين من التدفق المغناطيسي من المساحة  $\bar{A}$ ؛ الأول ناتج من كثافة تيار كهربائي،  $\vec{j}$ ، على **محيط مساحة الجسم الصلب**، والثاني ناتج من التدفق الفعلي الناتج عن تطبيق الحقل الخارجي،  $\vec{B}$ ، عليه.

- نحن لا نعلم **مقدار** مساهمة النوع الأول، ولكن المعادلة تدل على أن **المجموع ثابت بالنسبة للزمن**.

- ولذلك، إذا **غيّرنا** الحقل الخارجي،  $\vec{B}$ ، فإن هذا التغيير **يؤوض بتغيير** في كثافة التيار،  $\vec{j}$ ، على **سطح الجسم الصلب**، بحيث لا يتغير التدفق المغناطيسي الإجمالي، والعلاقة الناتجة هي العلاقة التي تُعرف الآن بأنّها صحيحة من أجل **ناقل مثالي** (راجع **الشكل 4a-10**).

يتم الحصول على معادلة لندن الثانية ليس فقط من شرط مساواة المشتق الجزئي بالنسبة للزمن في العلاقة (4-10) للصفر وحسب، بل من شرط انعدام الحد الواقع بين القوسين أيضاً. هذا يعني أنَّ:

$$\operatorname{rot} \vec{j} = -\frac{n_s q^2}{m_s} \vec{B} \quad \text{ومن ثم} \quad \frac{m_s}{n_s q^2} \operatorname{rot} \vec{j} + \vec{B} = 0 \quad (6-10)$$

<sup>1</sup> إذا كانت الجسيمات الناقلة للتيار الفائق مختلفة عن الإلكترونات يجب أن تستبدل الكتلة، والشحنة، والكثافة الموافقة لذلك في المعادلات.

يمكنا باتباع الإجراء ذاته الذي اتبناه من أجل العلاقة (10-5)، أن نرى أن هذه المعادلة تصف مفعول ميسنر بشكلٍ صحيح؛ إذ يمكننا الآن حساب كثافة التيار،  $\vec{j}$ ، من الحقل **الخارجي**،  $\vec{B}$ . ثم إن **الحقل المغناطيسي الداخلي** الناتج من كثافة التيار هذه يُعدّ الحقل الخارجي بالكامل (أي يُلغيه تماماً). بهذا الشكل، **بلغ طرد** الحقل المغناطيسي من داخل الناقل الفائق **يتم بكثافة تيار** يتدفق على سطح الناقل الفائق هذا. ولكن السؤال الآن، ما هو مقدار تغفل هذه التيارات في مادة هذا الناقل الفائق؟. تسمح معادلتنا لندن بمقاربة ذلك مقاربةً أكثر كمية؛ إذ لدينا داخل الناقل الفائق  $(\vec{D} = \epsilon_0 \vec{E} = 0)$  قانون أمبير الذي يأخذ الشكل الآتي:

$$\text{rot } \vec{B} = \mu_0 \left( \vec{j} + \frac{\partial \vec{D}}{\partial t} \right) = \mu_0 \vec{j}. \quad (7-10)$$

وبأخذ دوار طفي المعادلة الأخيرة والاستفاد من العلاقة (10-6) نحصل على المعادلة الآتية:

$$\text{rot rot } \vec{B} = \mu_0 \text{rot } \vec{j} = -\frac{\mu_0 n_s q^2}{m_s} \vec{B}. \quad (8-10)$$

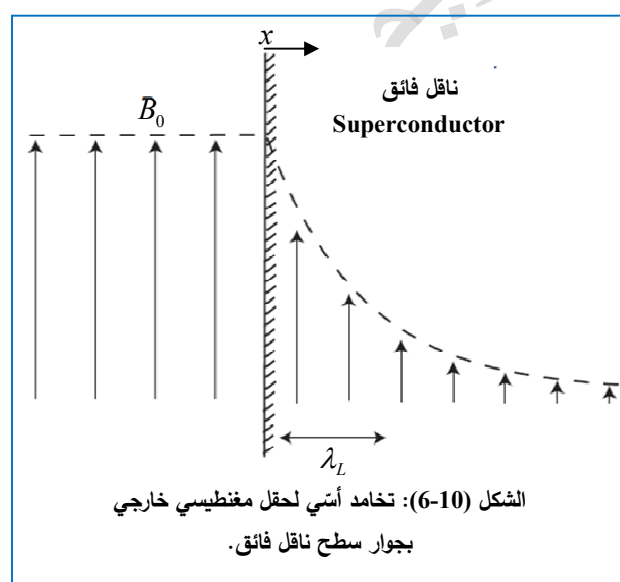
يمكنا الآن استعمال المطابقة  $\text{rot rot } \vec{B} = \text{grad div } \vec{B} - \Delta \vec{B}$  في المعادلة الأخيرة، فنحصل على المساواة الآتية<sup>2</sup>:

$$\Delta \vec{B} - \frac{\mu_0 n_s q^2}{m_s} \vec{B} = 0. \quad (9-10)$$

وبهذا الشكل، تحصل على معادلة تفاضلية من الدرجة **الثانية** من أجل **الحقل المغناطيسي المتغفل** في مادة الناقل الفائق ويمكن الحصول على معادلة تفاضلية مشابهة تماماً لالمعادلة (9-10) من أجل كثافة التيار، باتباع الإجراء ذاته، حيث نجد:

$$\Delta \vec{j} - \frac{\mu_0 n_s q^2}{m_s} \vec{j} = 0. \quad (10-10)$$

يمكن حل كلياً المعادلتين بحقلٍ وكثافة تيارٍ **متناقضين أستاً**،  $\vec{B} = \vec{B}(0) e^{-x/\lambda_L}$  و  $\vec{j} = \vec{j}(0) e^{-x/\lambda_L}$  على الترتيب: يوضح **الشكل** (10-6) الحالة الموافقة من أجل الحقل.



<sup>2</sup> يطبق مؤثر لابلاس،  $\Delta$ ، على حقلٍ متوجٍ. ويعني هذا الرمز أن مؤثر لابلاس يُطبق بوجه خاص على كل مركبة مفردة من مركبات الحقل الأصلي مما يؤدي مرة أخرى إلى حقلٍ متوجٍ.

يسمى الطول المميز للتناقص الأسّي **عمق تغفل لندن**  $London Penetration depth$ ,  $\lambda_L$ , ويعطى بالعلاقة الآتية (بالجزر التباعي لمقلوب أمثل التيار أو الحقل المغناطيسي):

$$\lambda_L = \sqrt{\frac{m_s}{\mu_0 n_s q^2}}. \quad (11-10)$$

إذا فرضنا أن كل الإلكترونات حاولت تيارات فائقة  **وأنها تمتلك** كتلة وشحنة إلكترونٍ حرٍ، فيمكن تقدير عمق تغفل لندن لأن يكون من رتبة 30 nm. إن اتفاق هذه القيمة المحسوبة مع القيمة التجريبية ليس كاملاً، ولكن رتبة القيمتين صحيحة، مما يوحي بأن طبيعة هذا التوافق جيدة نوعاً ما:

- سنرى في النظرية المجهرية أن جزءاً صغيراً فقط من الإلكترونات يُسمى في الناقلة الفائقة.
- فضلاً عن أن **كثافة الجسيمات** فائقة الناقلة **ليست ثابتة**؛ فهي تتغير مكانياً وحرارياً.

لقد صاغ العالمان السوفيتيان **غينزبورغ** Vitaly Lazarevich Ginzburg و **لانداو** Lev Davidovich Landau

في عام 1950 نظريةً للناقلة الفائقة أكثر تعقيداً بكثير من سابقاتها؛ **تعريف** نظرية غينزبورغ- لانداو هذه ما يسمى بتحول الانتظام *Order Parameter*,  $\Psi(\vec{r})$ ، الذي يمكن الحصول عليه من معادلة مشابهة لمعادلة شرودنغر ويمكن كتابته على شكل التابع العقدي

$$\Psi(\vec{r}) = \Psi_0(\vec{r}) \exp[i\phi(\vec{r})], \quad (12-10)$$

والذي يُعد فيه التابع  $\phi(\vec{r})$  طوراً متغيراً ماكروسโคبياً **والكمية**  $|\Psi^* \Psi| = \Psi_0^2$ ، تمثل كثافة حاملات الناقلة الفائقة،  $n_s$ .

إن **السلوك الفراغي** لـ  $\Psi(\vec{r})$  يعني أن  $n_s$  ليست بحاجة بعد الآن لأن تكون ثابتة، ولكنها لا يمكن أن تتغير آنذاك من الصفر إلى قيمة عالية **عند سطح** ناقل فائق الناقلة على سبيل المثال. إذ يجب أن تحدث تغيرات معقولة لـ  $\Psi(\vec{r})$ ، ومن ثم لـ  $n_s$ ، على مقاييس طول يدعى **بطول تماسك الناقل الفائق** *Coherence Length* (فهو يشير إلى أصغر مدى فراغي يمكن لخاصية الناقلة الفائقة التغير خلاله بشكل معقول).

نجحت نظرية غينزبورغ- لانداو نجاحاً باهراً في وصف الكثير من الظواهر المرتبطة بالناقلة الفائقة على الرغم من أنها ليست نظرية مجهرية. وثمة صفة مميزة لهذه النظرية تكمن على وجه الخصوص في أن متحول الانتظام يمتلك سلوك تابع موجي كمومي ماكروسโคبي.

## 10-2-2 نظرية BCS المجهرية للناقلية الفائقة Microscopic BCS Theory

لقد صيغت النظرية المجهرية للناقلية الفائقة في عام 1957 بعد أكثر من أربعين عاماً من اكتشاف مفعول باردين **Bardeen** وكوبر **Cooper**، وشيرير **Schrieffer** الذي أطلق عليه لاحقاً نظرية **BCS**.  
لماذا استغرقت نظرية BCS وقتاً طويلاً حتى اكتملت الصورة المجهرية للناقلية الفائقة؟. أحد الأسباب يمكن في أنَّ **فرضيتين** من أكثر الفرضيات أهميةً التي وضعت لمعالجة الأجسام الصلبة، **غير صالحتين** في حالة الناقلية الفائقة حتى أنَّ **خرقهما** يُعدُّ أمراً جوهرياً بالنسبة لنظرية BCS:  
(1) **الفرضية الأولى هي تقرير بورن- أوينهايم** الذي سمح لنا بدراسة خصائص الإلكترونية والاهتزازية كلٍ على حدة؛

(2) **والفرضية الثانية هي تقرير الإلكترون المستقل** الذي سمح لنا بدراسة خصائص الإلكترون واحدٍ واقعٍ في كمونٍ وسطيٍّ لباقي الإلكترونات الأخرى.<sup>3</sup>

تمثّل حالة الناقلية الفائقة، كما ذكرنا في المقدمة، ظاهرة كمومية على المقياس الماקרוسكوبى؛  
❖ يتحقق التابع الموجي الماקרוسكوبى، كما في تجمع ("تكتاف") بوزة- اينشتاين أو الليزر، بعده  
كبيرٍ جداً من الجسيمات التي تشغّل الحالة الكمومية ذاتها.

❖ على الرغم من أنه يجب أن تكون حذرين لدى مقارنة الجسيمات المتجمّعة في الجسم الصلب مع البوزنات **اللاماتّرة** مع بعضها البعض، فمن الواضح أن تلك الجسيمات **لا يمكن أن تكون الإلكترونات الحرة** لكونها فرميونات ويجب أن تخضع لقانون الاستبعاد لباولي.

❖ وكان كوبر قد أدرك أن **تشكّل أزواج الإلكترونات**، ينجم عن **تجاذب** صرفِ مهما كان ضعيفاً، يحلُّ  
هذا **المعضلة** **ويوفر** إمكانيةً لحالة أرضية جديدة لغاز الإلكترونات **بخصائص** جديدة تماماً  
وبطأقةٍ أقل بقليل من الحالة الأرضية الأصلية (القديمة) التي جرى مناقشتها في الفصل السادس.

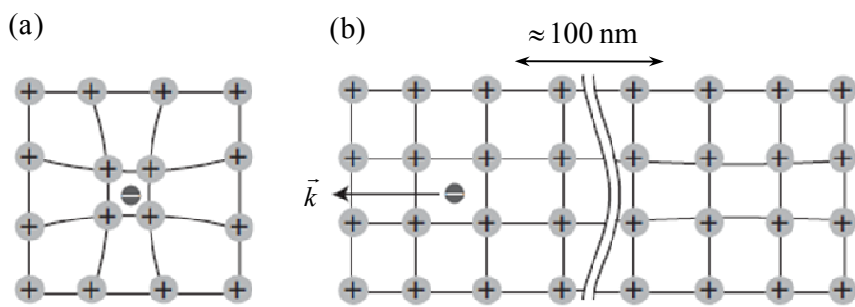
❖ بما أن **طاقة الحالة الأرضية الجديدة أخفض**، فيمكن أن نتوقع انتقالاً طورياً إلى هذه الحالة، على الأقل من أجل درجات الحرارة المنخفضة جداً، حيث ليس لأنتروبية أهمية.

**الآلية الممكنة التي تؤمن تجاذباً ضعيفاً** غير مباشرٍ بين الإلكترونات هي التأثير المتبادل بين الإلكترونات واهتزازات الشبكة البلورية، أي ما يسمى **بالتآثر (الإلكتروني- الفونوني)** *Electron-Phonon Interaction*

**هذا التآثر ضعيف** ويُهمل عادةً لدى استخدامنا لتقرير بورن- أوينهايم، ولكنه حيوى من أجل الناقلية الفائقة حيث لا مكان لتقرير بورن- أوينهايم. **والشكل** (7a-10) يوضح منشأ هذا التآثر.

→ **فعند وجود الإلكترون** في موقعٍ ما في الشبكة البلورية الأيونية، **فإنه** يشوه الروابط المحيطة به قليلاً بفضل التأثر الكهركدي مع الأيونات الموجبة الشحنة الكهربائية.

<sup>3</sup> بالطبع، لقد **تخلينا** عن هذا التقرير في حالة الانتظام المغناطيسي.



الشكل (7-10): تشوه موضعٍ للشبكة البلورية ناجم عن التأثير الكهربائي بين الإلكترونات والأيونات في فلز؛  
الحالة (a) من أجل إلكترونٍ بطيء جدًا أو ساكن و (b) من أجل إلكترونٍ متحركٍ بسرعةٍ قريبةٍ من سرعةٍ فيرمي.

- ويمكننا تخيل مثل هذا **التشوه الموضعي للشبكة البلورية كرزمٍ موجيةً** مكونةً من **فونونات**، بشكلٍ مشابٍ جدًا **لإلكترونٍ متواضعٍ** يمكن أن يbedo كرزمٍ من **أمواجٍ بلوكٍ**.
- يمكن التشوه هنا في أن **أيونات الشبكة البلورية** تجذب نحو **موقع الإلكترون**، مما يؤدي إلى **استقطاب موضعي للشبكة البلورية**، يكون **بدوره جاذبًا لـإلكترونات أخرى**.
- بهذا الشكل، نرى أنه يمكن أن **يتوافر تأثر جاذب بين إلكترونين**.

لكن هذا المشهد الساكن (على اعتبار أن الإلكترون المعنوي بطيئٌ جدًا أو ساكن) الذي يوضحه **الشكل (7a-10)** فعليًا لا يعمل، لأن **الإلكترون الآخر** الذي ينتقل نحو الجزء المستقطب من الشبكة البلورية سيتأثر ("سيشعر") كما في السابق بـ**تأثير كهربائي قويٍّ** من قبل **الإلكترون الأول**؛  
**أضف إلى ذلك** سنجري أن **الإلكترونات المسئولة عن الناقالية الفائقة** تمتلك طاقات حركية قريبة من طاقة فيرمي، ومن ثم **الإلكترونات** هذه ليست ساكنة.

- يوضح **الشكل (7b-10)** **مشهدًا ديناميكيًا** أكثر قبولاً من المشهد الساكن الذي يوضحه **الشكل (7a-10)**، حيث **يُظهر إلكترونًا** متحركًا في الشبكة البلورية **بمعدل سرعة عالية**، من رتبة  $10^6 \text{ m} \cdot \text{s}^{-1}$ ، وجاذبًا **أيونات الشبكة الموجية** في أثناء حركته.
- فالشبكة البلورية الآن مستقطبة، ولكن طالما حركة الأيونات **أبطأ بكثير** من حركة الإلكترونات، فإن الاستقطاب لا يحدث آنيًا بل **يستغرق زمناً**.
- حيث يمكننا أن نقدر أن **هذا الزمن** اللازم لاستقطاب الشبكة البلورية يجب أن يكون من نفس رتبة زمن حركة الأيونات، حيث أن  $2\pi/\omega_D \approx 10^{-13} \text{ s}$ .
- وعندما، يكون **الإلكترون** قد قطع لحظةً بلوغ الاستقطاب الأعظمي **مسافة**  $10^6 \text{ m} \cdot \text{s}^{-1} \times 10^{-13} \text{ s} = 100 \text{ nm}$ .

بمقدور **الإلكترون الآخر** الآن، أن **يُخفض طاقته من خلال حركته خلف الإلكترون الأول؛ فالتناصر الكهربائي بين الإلكترونين** سيكون **ضعيفًا**، لأنهما **بعيدان جدًا** عن بعضهما البعض.

- إذا وجب على الإلكترون الآخر أن يبقى في المسار ذاته، فإن متجهه الموجي،  $\vec{k}$ ، إنما سيكون مسائراً لمتجه الموجي من أجل الإلكترون الأول، وإنما معاكساً له تماماً.
- يمكن تبيان أن الحالة الأكثر تفضيلاً من الناحية الطاقية تنشأ عندما يمتلك الإلكترونون متوجهين موجيين،  $\vec{k}$ ، معاكسين تماماً وبسبعين معاكسين.
- **تسمى الأزواج الإلكترونية المتشكلة من الإلكترونات بـ  $\vec{k}$  و  $-\vec{k}$  - وسبعين محصلة صفرية بأزواج كوبر Cooper Pairs.**

على الرغم من أن هذه الحقائق البسيطة تعطينا تصوراً جيداً للمنشأ الفيزيائي لتشكل أزواج كوبر، فيجب أن تكون حذرين جداً بالذهاب بها بعيداً.

- فعلى سبيل المثال، تمكنا هذه الحقائق من أن ندرك أن المتجه الموجي للإلكترون الآخر يجب أن يكون  $\vec{k}$  - وليس  $-\vec{k}$ ، أي أن الإلكترون الآخر يتحرك في اتجاه معاكس لاتجاه الإلكترون الأول. ولكن يجب أن نفهم أن مسألة مكان وقوع الإلكترون وإلى أين يتحرك، تفقد معناها **عندما ندرس تابعاً موجياً للإلكترونين فقط**.

- ليس واضحأ أيضاً، أن **السبين الكلي** للزوج يجب أن يكون **صفرأ**؛ في الواقع، توجد بعض النواقل الفائقة العجيبة التي يكون فيها السبين الكلي لزوج كوبر مساوياً الواحد.
- ولكن **النقطة الحاسمة** هنا تكمن في وجوب أن يكون هذا السبين عدداً صحيحاً وليس نصف عدد صحيح، أي أن أزواج كوبر **تعد بوزنات وليس فرميونات**.

**لكي نفهم** لماذا استخدمنا سرعة الإلكترونات عند طاقة فيرمي من أجل تقدير الفاصل الطaci بين زوج من الإلكترونات، **نصف التأثير الإلكتروني - الفونوني في إطار الميكانيك الكمومي أكثر**؛

→ إذ يمكن دراسة التأثير بين الإلكترونين بمساعدة الفونونات؛ كابناعاث وامتصاص مستمررين لفونونات "افتراضية" تصل طاقتها إلى نحو  $\hbar\omega_D$ .

→ **إصدار فونون** بطاقة  $\hbar\omega$  لا يخرج قانون انفاذ الطاقة شريطة أن يكون عمره قصيراً أي إذا امتص بسرعة من قبل إلكترون آخر.

→ **وإلكترونات التي يمكنها المساهمة في تبادل مثل هذه الفونونات "افتراضية"** وتشكل أزواج كوبر هي تلك الإلكترونات الواقعة بجوار طاقة فيرمي **فقط** ضمن مجال ضيق يبلغ نحو  $\hbar\omega_D$ .

→ **فليس بمقدور أي إلكترون** من الإلكترونات الأخرى أن يصدر أو يمتص فونونات "افتراضية" لأنها تقع في مصيدة توزع فيرمي - ديراك؛ حيث كل الحالات الواقعة حولها والممكن الوصول إليها تكون مشغولة.

هذا المشهد يفسر أيضاً لماذا يكون التأثير مهمأ جداً في درجات الحرارة المنخفضة عندما "تجمد" عملياً كل الفونونات، والشبكة البلورية تقوم بحركات (اهتزازات) النقطة الصفرية فقط.

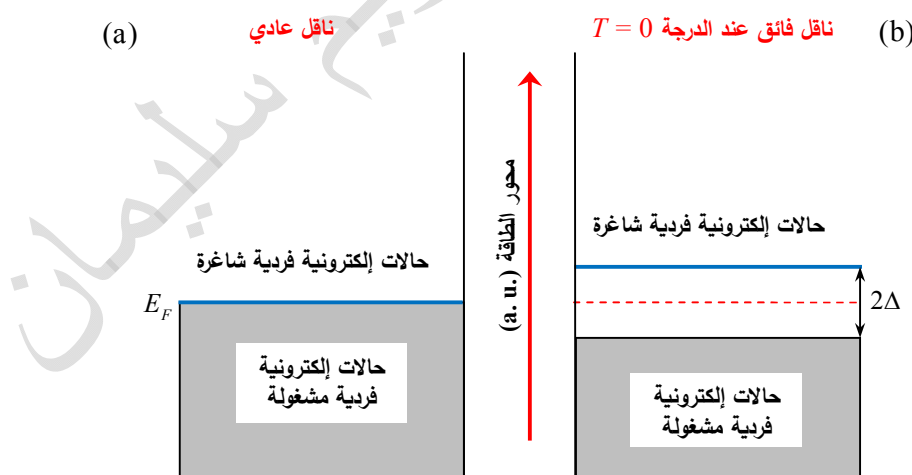
**يتراافق** تشکل أزواج كوبر **بتکتسها** في حالة أرضية مشتركة، وهي حالة ممكنة إلى حد ما، بسبب **السلوك البوزوني للأزواج**؛ تدعى هذه الحالة، بالحالة الأرضية BCS **وتمثل ربحاً طاقياً** بالمقارنة مع الحالات الأرضية الفلزية التقليدية (المعروفة).

أولاً، سنناقش هذه الحالة عند درجة الصفر المطلق:

- تأخذ مستويات الطاقة من أجل حالة عادية في درجة الصفر المطلق الشكل المألف لدينا والذي يوضحه **الشكل** (8a-10). فهذه المستويات ممتنعة حتى مستوى فيرمي،  $E_F$ ، تماماً وفارغة فوقها.
- ومن جهة أخرى، في الحالة الأرضية BCS من أجل ناقل فائق، كل الإلكترونات القريبة من طاقة فيرمي مترابطة في أزواج كوبر وتكتسب طاقةً وسطيةً،  $\Delta$  لكل إلكترون شارك في ذلك.
- لا تظهر أزواج كوبر في مخطط الطاقة أحادية الجسيم، كما في **الشكل** (8-10). **فالحالة الطاقية لهذه الأزواج هي حالة** الأجسام المتعددة بطاقة إجمالية واحدة من أجل كل الإلكترونات المترابطة في أزواج كوبر:

وهذا مشابه لمستويات الطاقة في جزيء الهيدروجين التي يوضحها **الشكل** (2-2)؛ إذ يوجد من أجل جزئية هيدروجين  $H_2$  **مستويات طاقة** من أجل كل مسافة- بين ذريّة (المسافة الفاصلة بين ذرتين جزئية الهيدروجين) ممكنة؛ مستوى طاقة من أجل الحالة الفردية Singlet State ومستوى طاقة من أجل الحالة الثلاثية Triplet State. فليس هناك من معنى لتقسيمها إلى طاقات- أحادية الإلكترون؛ فمستويات الطاقة هنا هي حالات طاقية ثنائية- الإلكترون متصلة.

للننظر الآن في الإلكترونات المتبقية التي لم ترتبط بأزواج كوبر **في الناقل الفائق**؛ فمستوياتها الطاقيّة تُعدّ كثيرةً، كما في **الشكل** (8b-10):



الشكل (8-8): إسكان مستويات طاقة **بإلكترونات فردية** في درجة الصفر المطلق في (a) معدن عادي و (b) ناقل فائق؛ فمن أجل ناقل فائق، ترتبط الإلكترونات القريبة من  $E_F$  في أزواج كوبر تشغل حالة متعددة الجسيم، أي الحالة الأرضية BCS، التي لا يمكن أن تظهر في هذا الشكل المألف لمستويات أحادية الجسيم. لتهييج إلكترونات فردية من هذه الحالة الأرضية، لا بد من فك زوج كوبر، وهذا يستوجب صرف طاقة على كل إلكترون مقدارها  $\Delta$  وخلق إلكترونين غير متزاوجين في أخفض الحالات الشاغرة الممكنة الأحادية- الجسيم.

- إذ تظهر فجوة طاقة قياسها  $2\Delta$  حول طاقة فيرمي  $E_F$  ، مما يعني أنه لم تُعد هناك حالات جسيمية أحادية قريبة من  $E_F$  على الإطلاق.

يمكننا أن نفهم ذلك كيّفياً، بأن **الحالات الإلكترونية** التي كانت تحت  $E_F$  تماماً أزيلت **لتشكل** أزواج كوبير، أمّا من أجل الحالات فوق  $E_F$ ، فإن أخفض طاقة ممكنة من أجل الإلكترون فردي تساوي  $\Delta$ ؛ وهذا يتحقق مع كمية الطاقة اللازم صرفها لكسر زوج كوبير الذي يساوي  $2\Delta$  **ويخلق** الإلكترونين فرديين في أخفض حالة طاقية ممكنة فوق الفجوة تماماً.

**تُعد فجوة الطاقة** في الطاقات الإلكترونية الفردية صفة مميزة وأساسية جداً لنموذج BCS، وتسمى عادةً **بالفجوة الطاقية في طيف التهيج الجسيمي المفرد** *The Gap in the Single-Particle Excitation Spectrum*، لأن الطاقة الدنيا الآن لتهيج الإلكترون غير مقتربة (الكترون "أعزب") لا تساوي الصفر (كما في فلز عادي)، بل  $2\Delta$ ؛ وفي هذا السياق، الحالة مشابهة لحالة نصف ناقل يمتلك فجوة طاقية أيضاً، ولكن الفجوة هنا أصغر بكثير منها في نصف الناقل وتنعلق كما سنرى بدرجة الحرارة بقوّة.

**المحاضرة (12) تاريخ 2023/12/30-2025/12/12 ما هو مقدار فجوة الطاقة في الناقل الفائق؟**

► **فقط الإلكترونات القريبة من طاقة فيرمي بمقدورها المشاركة في التبادل الطاقي مع الفونونات الافتراضية**، وتؤدي إلى **تشكل** أزواج كوبير؛

► ولذلك، من المرجح أن الإلكترونات التي طاقاتها تصل إلى  $\hbar\omega_D$  والواقعة تحت  $E_F$  تُسهم في التزاوج، بحيث أن  $\Delta \approx \hbar\omega_D$  ، وهذا ليس بعيداً عن الواقع:

► سنرى لاحقاً أن  $\Delta$  فعلياً تتناسب طرداً مع  $\hbar\omega_D$  ، ولكنها أصغر منها بكثير عادةً.

► **تتوقع نظرية BSC** بأن  $\Delta$  في **درجة الصفر المطلق** مرتبطة بدرجة الحرارة الحرجة،  $T_C$  ، وفق المساواة 
$$\Delta = 3.53 k_B T_C$$
.

► وبما أن  $T_C$  **معلومة** لدينا من التجربة، بمقدورنا حساب  $\Delta$  حيث نجد أنها صغيرة جداً عادةً وتبليغ بضعة meV.

► يمكننا، عوضاً عن أخذ القيمة التجريبية لـ  $T_C$  ، الحصول عليها من نظرية BCS أيضاً كما يأتي:

$$T_C = 1.13 \Theta_D \exp \frac{-1}{g(E_F)V}, \quad (13-10)$$

حيث  $\Theta_D$  درجة حرارة ديبابي، و  $g(E_F)$  كثافة الحالات الإلكترونية عند طاقة فيرمي، و  $V$  وسيط يقيس شدة الاقتران الإلكتروني - الفونوني.

وهذا لا يؤكد أن  $\Delta = 3.53 k_B T_C \propto \hbar\omega_D$  وحسب، بل يقدم لنا الكثير من المعلومات عن الناقلية الفانقة من نوع BSC أيضاً:

- بادئ ذي بدء، تقدّر هذه النتيجة مفعول النظائر بسهولة، طالما أن  $\Theta_D \propto \omega_D \propto M^{-1/2}$  .

كما أن **المعادلة (10-13)** تُظهر أن درجة حرارة ديباي تحدد المجال الحراري لهذه الظاهرة:

→ لا يمكن  **التابع الأسني** أن يصبح أكبر من واحد، ولذلك لا يمكن أن نأمل بالحصول على درجة

حرارة انتقال أعلى من  $\Theta_D = 1.13$ ؛ في الواقع،  **التابع الأسني** أقل من الواحد بكثير.

→ إن كلاً من كثافة الحالات وشدة التأثير (الإلكتروني - الفونوني) تدخلان في **العلاقة (10-13)** بنفس الطريقة، بحيث كلتا هما تؤديان إلى رفع درجة الحرارة الانتقالية،  $T_C$ .

→ ومن الواضح، أن كثافة الحالات عند طاقة فيرمي **فقط** هي المهمة، لأن الإلكترونات التي تُسهم في تشكيل أزواج كوبير هي تلك الإلكترونات الواقعة عند هذه الطاقة فقط.

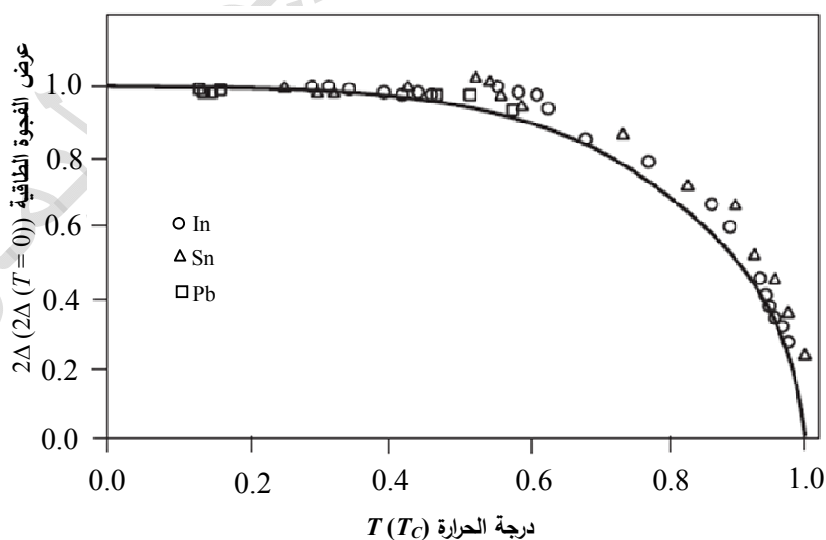
→ يمكننا، استناداً إلى هذه النتائج النظرية BCS للناقلية الفائقة، أن نقدر **كلاً من عدد الإلكترونات في أزواج كوبير** (في وحدة الحجم) ليكون مساوياً  $g(E_F)\Delta$  **والربح الطاقي الكلي المُوافق** لأن يكون مساوياً  $g(E_F)\Delta^2$ .

في درجات الحرارة المحددة لا تكون كل الإلكترونات القريبة من  $E_F$  مرتبطة في أزواج كوبير، وعندما تتعقد المسألة المرتبطة بتجمّع البوزنات:

▪ **فالربح الطاقي** الناتج من تكافُف جسيمة في الحالة الأساسية يتعلّق بعدد الجسيمات المتوفّرة أصلًا في هذه الحالة؛ بتعبير آخر، ترتّبطة الطاقة المتشكّلة  $2\Delta$  من أجل زوج كوبير بعدد الأزواج المتوفّرة مسبقاً في الحالة الأرضية ومن ثم تصبح  $\Delta$  تابعاً لدرجة الحرارة.

▪ يوضح **الشكل (9-10)** التابعية - الحرارية المتوقعة لـ  $\Delta$  :

• فعندما تُبرد العينة إلى ما دون  $T_C$ ، فإن  $\Delta$  تفترض قيمًا غير صفرية وتبدأ بعض أزواج



الشكل (9-10): عرض الفجوة الطاقيّة من أجل ناقل فائق في نموذج BCS؛ التابع لدرجة الحرارة ومقارنتها

بالمعطيات التجريبية من أجل In, Sn, Pb. عند درجة الحرارة الانتقالية  $T_C$ ، تنافق الفجوة.

أخذت المعطيات من جيافر Giaever وميغيل Megerle (1961).

كوبر بالتشكل،

- وهذا بدوره يرفع من الريح الطaci من أجل تشکل أزواج كوبر لاحقة؛
- في درجة الصفر المطلق كل الإلكترونات القريبة من  $E_F$  ترتبط في أزواج كوبر؛ وكما رأينا أعلاه، يمكن عد حجم الفجوة أيضاً مقياساً لكمية الإلكترونات المتكثفة في أزواج كوبر.

❖ يذكّرنا هذا السلوك المعقد بالانتظام المغناطيسي في الجسم الصلب حيث يتعلّق الريح الطaci من أجل اتجاه للسبعين عدد السبيّنات التي كانت متوفّرة مسبقاً في ذلك الاتجاه.

- ففي الانتظام المغناطيسي، كما في الناقلية الفائق، تحدث عملية تضخيّم ذاتي لدى تبريد العينة حتّى درجة حرارة الانتقال أو التحوّل (لاحظ التشابه هنا بين الشكل (5-8) الذي تمت دراسته في **الفصل الثامن** والشكل (10-9)).
- وبمتابعة تخفيف درجة الحرارة يزداد الانتظام المغناطيسي في المغناطيس **وكذلك** عدد أزواج كوبر في الناقل الفائق.
- وعندّها، نفهم أيضاً حقيقة أن الانتقال إلى حالة الناقلية الفائق يكون **حاداً جداً** بالنسبة لدرجة الحرارة.

يُظهر الشكل (10-9) أيضاً مقارنةً بين حجم الفجوة المتوقّع والقيم التجريبية من أجل بعض النماذج الفائقية؛ فالتغيّر السريع في حجم الفجوة بالقرب من  $T_C$  تؤكّد التجربة بوضوح.

❖ يمكن استخدام وجود أزواج كوبر والفجوة الطaciّة في الطيف الجسيمي - المفرد لتفسيّر كل المشاهدات التجريبية ذات الصلة بالناقلية الفائق. فهنا نناقّش بكل بساطة

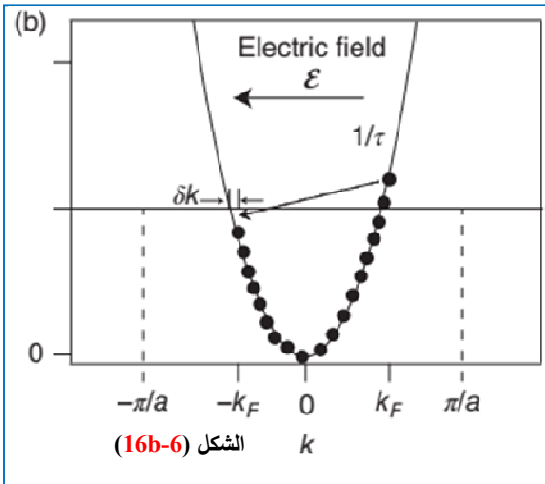
- **الناقليّة - من دون مقاومة**
  - **ووجود كثافة تيارٍ حرّجةٍ وحقلٍ مغناطيسيٍّ حرّجٍ.**
- نحن لا نعرض كيف يمكن أن يُؤثّر مفعول ميسّنر ولكن الفكرة الرئيّسة تكمن في أن المعادلة المشابهة لمعادلة لندن الثانية (10-6)، يمكن تحسينها في نموذج **BCS**.

وكما ذكرنا أعلاه، عند مناقشة معادلتي لندن، يمكن الحصول على الناقلية الكهربائية من دون مقاومة بسهولة في نموذجي الإلكترونيات في الجسم الصلب؛ التقليدي والكمومي، إذا لم نُدخل في الدراسة آلية تبعّر ثبّي المقاومة محدودة. يُطّبق الشيء ذاته من أجل أزواج كوبر :

- إذ يتسرّع كامل تجمّع الأزواج عند تطبيق حقل كهربائي على العينة.
- قبل تطبيق الحقل الكهربائي كانت كل أزواج كوبر في الحالة الكمومية ذاتها وبالمنتهي الموجي الإجمالي ذاته،  $0 = \vec{k}$  لكل زوج.

و عند تدفق تيارٍ عبر العينة نتّيجةً لتطبيقات الحقل الكهربائي، تبقى كل الأزواج في الحالة الكمومية ذاتها، ولكن بمنتهي موجي محصلٍ مختلفٍ،  $0 \neq \vec{k}$  لكل زوج.

- الشيء الوحيد الواجب تفسيره هنا هو غياب عمليات التبعّر التي تؤدي إلى خفض هذا التيار.



- دراسة الفارق بين أزواج كوبر والإلكترونات اللامتزاجة، من المفيد العودة إلى الوراء قليلاً، **للشكل (16b-6):**
  - ينخفض التيار في فلز عادي بسبب تبعثر الإلكترونات عكسياً إلى الحالات الواقعة في الأسفل (أي عودة الإلكترونات إلى هذه الحالات الطاقية)، بوساطة العيوب أو الاهتزازات الحرارية.
  - هذا التبعثر عملية فردية تؤثر في الإلكترون واحد ولمرة واحدة.
- مثل هذه العملية لا تعمل من أجل تجمّع لأزواج كوبر، لأنه لا يمكن تغيير  $\bar{k}$  من أجل زوج واحد من دون تغييره من أجل كل الأزواج المتبقية الأخرى بآنٍ معاً.
- فإذا لم نستبعد تطبيق نفس القوة على كل الأزواج بآنٍ معاً، كتطبيق حقل كهربائي، فإن هذه العملية ممكنة، وإن كان احتمال حدوثها ضعيفاً للغاية.
- من الضروري أيضاً دراسة عمليات التبعثر التي تفصل زوج كوبر إلى الإلكترونين فرديين.
  - في الواقع، إن ذلك ممكن، ولكن فقط إذا كانت الطاقة الحركية للأزواج كبيرة كفايةً لتأمين الفجوة  $2\Delta$  اللازمة لتخريب زوج كوبر.
  - بهذا الشكل، سيكون للعملية أهمية عند الكثافات العالية للتيار، التي من أجلها يتناقص عدد أزواج كوبر في الجسم الصلب تدرجياً، حتى تتحرب الناقلة الفائقة تماماً، عند بلوغ كثافة التيار الحرج،  $j_C$ .
  - يمكن تفسير وجود حقل مغناطيسي حرج،  $B_C$ ، بطريقة مشابهة جداً: حيث يتم بلوغ هذا الحقل الحرج، عندما تتجاوز كثافة الطاقة المغناطيسية القيمة اللازمة لفصل أزواج كوبر.
  - وأخيراً، يوضح **الشكل (9-10)** سبب ارتباط الحقل المغناطيسي الحرج وكثافة التيار الحرج بدرجة الحرارة، فهما يتناقصان لدى اقتراب درجة الحرارة من  $T_C$ ، يسبي تناقص حجم الفجوة،  $\Delta$ ، وانخفاض كثافة أزواج كوبر أكثر فأكثر.

### 3- الكشف التجاري عن الفجوة Experimental Detection of the Gap

يُعد مفهوم **الفجوة** في طيف التهيج جوهرياً بالنسبة لنظرية BCS، ولذلك اكتسبت الاختبارات التجريبية **لوجودها وحجمها** (تابعاتها الحرارية) أهميةً بهدف إثبات الآلية المقترنة للناقلة الفائقة.

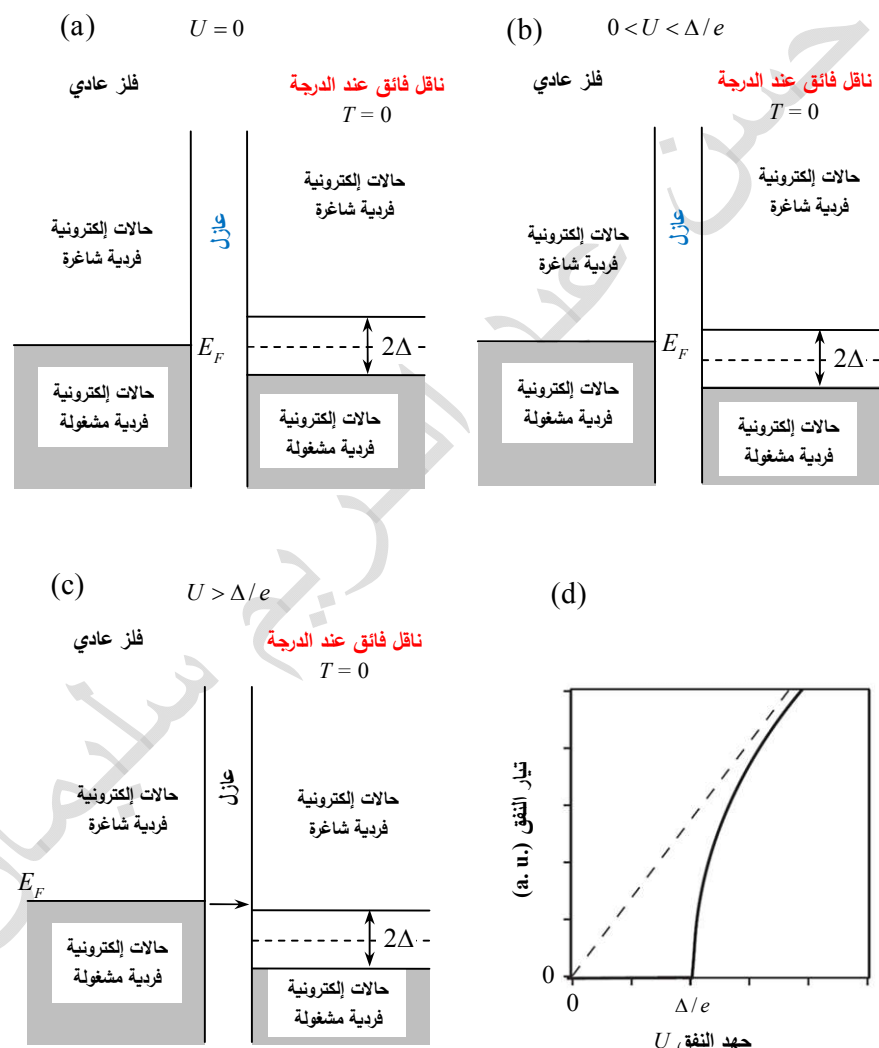
في الواقع، المقارنة التي أجريت في **الشكل (10-9)** مقنعة جداً في هذا السياق. وستناقش هنا ثالث طرائق لقياس حجم الفجوة فعلياً:

طريقة **عبور الإلكترون فردي** بطريقة **النفق** (أو باختصار **نفق الإلكترون الواحد**) *Single-Optical Reflectivity*، وطريقة **الانعكاسية البصرية** *Electron Tunneling*

**درجات الحرارة المنخفضة** *The Low-Temperature Heat Capacity* في حالة الناقلة الفائقة.

**أولاً** - يوضح **الشكل (10-10)** تجربة **عبور الإلكترون بالنفق** بين ناقل فائق تحت الدرجة  $T_c$  وفلز عادي:

- يفصل بين الفلز العادي والناقل الفائق حاجز عازل؛ كطبقة أكسيد مثلاً، تبلغ سماكته بضعة نانومترات فقط.



الشكل (10-10): تجربة العبور بالنفق بين ناقل فائق وآخر عادي؛ تفصل بينهما طبقة أكسيد عازلة رقيقة.  
يُدرس هنا عبور من بالنفق لـلإلكترون واحد. (a) حالة من دون تطبيق جهد. (b) عند تطبيق جهد صغير لا يكون العبور بالنفق ممكناً بسبب عدم توافر حالات طاقية متاحة في الفجوة. (c) عندما يتجاوز جهد النفق القيمة  $\Delta/e$ ، يُصبح عبور الإلكترون الواحد بالنفق ممكناً. (d) يُمثل الخط المتواصل تيار النفق كتابع للجهد من أجل الوصلة الحالية والخط المنقطع يُمثل المنحنى الموافق من أجل العبور بالنفق بين فلزين.

• إن التوابع **الموجية** للفلز والناقل الفائق لا تقطع عند السطوح الفاصلة مع الأكسيد، بل تتغفل فيه؛ فالترابك الصغير بينهما يسمح للإلكترونات بالعبور من طرف آخر. وهنا ندرس عبوراً مناً فقط للإلكترونات فردية بطريقة النفق.

✓ إذا لم يطبق جهد خارجي، فإن طاقة فيرمي في الفلز تنطبق على الكمون الكيميائي في الناقل الفائق، أي تتطابق على منتصف الفجوة، كما يوضح **الشكل** (10a-10)؛  
✓ وعند تطبيق جهد نفقي موجب صغير على الناقل الفائق، لا يمكن أن يتدفق تيار، لأن الإلكترونات المزمع قومها من الفلز لا تجد حالات فارغة في الناقل الفائق لكي تعبر إليه، كما يوضح **الشكل** (10b-10)؛

✓ حالما يبلغ جهد العبور بالنفق،  $U$ ، قيمةً من رتبة  $e/\Delta$ ، فإن الوضع يتغير:  
→ فالإلكترونات القريبة الآن من طاقة فيرمي في الفلز تجد حالات فارغة في الناقل الفائق، ويُصبح عبورها بالنفق ممكناً، كما يوضح **الشكل** (10c-10)؛  
→ وهذا يُسبب زيادةً حادةً في تيار العبور بالنفق عند الجهد  $e/\Delta$  (**الشكل** (10d-10))، الذي يسمح بتحديد حجم الفجوة الطاقية في الناقل الفائق.  
→ تجدر الإشارة إلى أن الوضع سيكون مختلفاً تماماً من أجل العبور بالنفق بين فلزين: فعبور الإلكترونات بالنفق ممكناً بطبيعة الحال عند جهود صغيرة جداً، وعدد الإلكترونات القادرة على العبور بالنفق يزداد بصورة متواصلة مع ازدياد قيمة الجهد المطبق، **والشكل** (10d-10) يُشير إلى هذا السلوك من خلال الخط المقطوع.

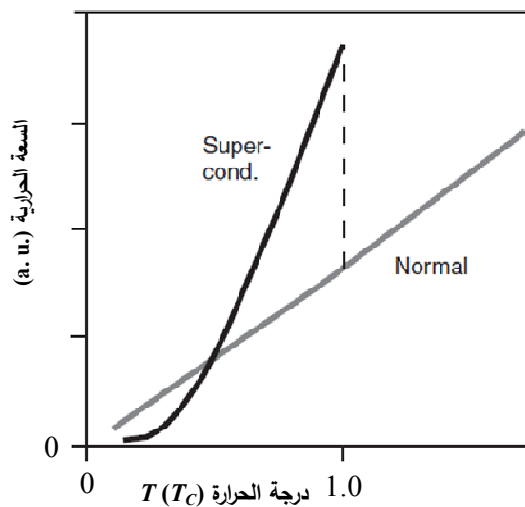
**ثانيةً** - ثمة إمكانية أخرى للكشف عن وجود الفجوة تكمن في قياس امتصاص الإشعاع الكهرطيسى عند عبوره ناقل فائق.

→ فمن أجل إشعاع كهرطيسى طاقته أقل من عرض الفجوة،  $h\nu < 2\Delta$ ، لا تكون الانتقالات الإلكترونية عبر الفجوة ممكناً، ومن ثم لا يلاحظ امتصاص؛  
→ وحالما يبلغ الفوتون القيمة  $2\Delta$ ، يبدأ الامتصاص وتزداد بطبيعة الحال شدة الإشعاع الكهرطيسى النافذ بشكل حاد.

→ بما أن عرض الفجوة في أفضل حالاته من رتبة بضعة meV، فإن الإشعاع الكهرطيسى المطلوب من أجل تحقيق هذه التجربة يقع في مجال الموجات الميكروية وتحت الحمراء البعيدة.

**ثالثاً** - هناك تجربة أخرى بعد، تُسهم في الكشف عن وجود فجوة، تكمن في دراسة السعة الحرارية لنقل فائق في درجات الحرارة المنخفضة. يُظهر **الشكل** (11-10) السعة الحرارية لنقل فائق في الحالتين؛

- حالة الناقلة الفائقة
- وحالة الناقلة العادية.



الشكل (10-11): السعة الحرارية الكيفية في درجات الحرارة المنخفضة من أجل ناقل فائق في حالي الناقلة الفائقة والعادية. يمكن تحقيق الحالة العادية عند درجة حرارة أقل من درجة الحرارة الانقلالية  $T_c$ ، من خلال تطبيق حقل مغناطيسي.

→ **لقد تعرّضنا لمثل هذا السلوك الأسني**، في نموذج اينشتاين الذي درس السعة الحرارية الفونونية والتي نتجت من وجود "فجوة طاقة" أيضاً بين الحالة الأرضية والحالة المهيّجة الأولى لهزّازات اينشتاين.

- يمكن الاحتفاظ بالمادة الواقعة تحت درجة الحرارة الحرجة  $T_c$ ، لتبقى في الحالة العادية من خلال تطبيق حقل مغناطيسي ضعيف.

- وعند متابعة تبريدها تحت  $T_c$ ، لا **تُبدي** السعة الحرارية **تغيراً مستمراً**، بل **تغيرات متعددة**:

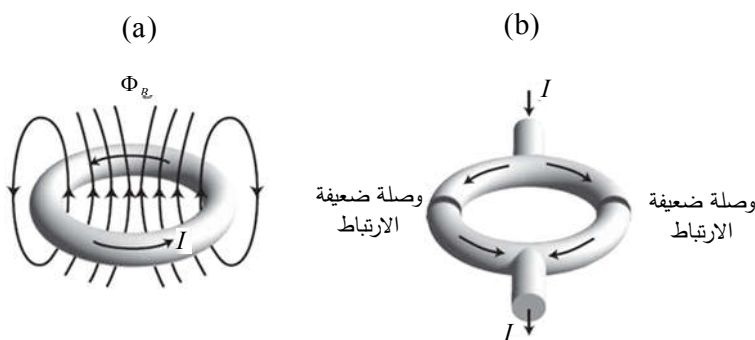
→ **إذ أنها تُظهر سلوكاً نوعياً مختلفاً** عند درجات الحرارة المنخفضة جداً، حيث لا **تُبدي** **التابعية** - الحرارية **الخطية** المميزة **للفلز**، وإنما **تُبدي** **تناقصاً أسيّاً**.

→ **وهذه هي طريقة أخرى** **للكشف عن** وجود فجوة تهيج في الناقل الفائق.

→ **لقد تعرّضنا لمثل هذا السلوك الأسني**، في نموذج اينشتاين الذي درس السعة الحرارية الفونونية والتي نتجت من وجود "فجوة طاقة" أيضاً بين الحالة الأرضية والحالة المهيّجة الأولى لهزّازات اينشتاين.

## 4-10 تماس حالة الناقلة الفائقة Coherence of Superconductivity State

لقد ذكرنا أكثر من مرة، أن حالة الناقلة الفائقة مرتبطة بتابع موجي متصل ماكروسکوبياً، يبني من



الشكل (12-10): (a) حلقة فائقة الناقلة، محاطة بتدفق مغناطيسي. التدفق المغناطيسي من خلال حلقة كهذه، مكتن بمضاعفات  $h/2e$ . (b) نبيطة التداخل الكواواني فائقة الناقلة.

أزواج كوبر في حالتها الأرضية. في الواقع، أمكن رصد هذا التماس الماكروسکوبى في الكثير من التجارب.

تكمن النتيجة المباشرة للتتابع الموجي المتصل ماكروسکوبياً في تكمينة **التدفق المغناطيسي**

من خلال حلقة فائقة الناقلة، كما يوضح [الشكل \(12a-10\)](#).  
إذا فرضنا أن التابع الموجي للنافل الفائق متصل في كامل الحلقة، أمكننا تطبيق شرط التكميلية لبور، بشكل مشابه لتطبيقه من أجل ذرة الهيدروجين ولكن على مستوى التدرج الماكروسکوبى.  
ينص شرط بور على أن **عددًا صحيحاً من أطوال موجة دوبروي**,  $\lambda = h/p$ , يجب موائمه على محيط

$$\oint \vec{p} \cdot d\vec{r} = hn, \quad (14-10)$$

حيث يجري التكامل على المحيط الداخلي للحلقة، و  $n$  عدد صحيح.

إذا أردنا رؤية ماذا يحدث بوجود حقل مغناطيسي، يمكننا أن نضمن هذا الحقل في المعادلة (14-10) باستخدام **الكمون المتجه** والقواعد ذاتها التي وضعت في [الفقرة 8-2](#) من أجل حالة الميكانيك الكواواني؛  
إذ يمكننا أن نكتب وفق [المعادلة \(8-8\)](#) العلاقة الآتية:

$$\oint (\vec{p} - q\vec{A}) \cdot d\vec{r} = hn. \quad (15-10)$$

وذلك من أجل جسيمات كتلتها  $m_s$ ، وكثافتها  $n_s$ ، وشحنتها  $q$ . ولدينا  $\vec{p} = m_s \vec{v}$ ؛

وكثافة التيار المرتبط بهذه الجسيمات يساوي  $\vec{j} = n_s q \vec{v}$ ، بحيث يمكننا كتابة العلاقة الآتية:

$$\frac{m_s}{n_s q} \oint \vec{j} \cdot d\vec{r} - q \oint \vec{A} \cdot d\vec{r} = hn. \quad (16-10)$$

بمقدورنا الآن إعادة كتابة التكامل الثاني في المعادلة (16-10) باستعمال مبرهنة ستوكس التكاملية بغرض الانتقال من التكامل الخطى إلى تكامل سطحى على مساحة الوسط ( التجويف ) المحدود بالحلقة:

$$\oint \vec{A} \cdot d\vec{r} = \int \text{rot } \vec{A} \cdot d\vec{a} = \int \vec{B} \cdot d\vec{a} = \Phi_B, \quad (17-10)$$

حيث  $\Phi_B$  التدفق المغناطيسي من خلال التجويف في الحلقة.  
بهذا الشكل، تُصبح المعادلة (10-16) من الشكل الآتي:

$$\frac{m_s}{n_s q^2} \oint \vec{j} \cdot d\vec{r} - \Phi_B = n \frac{h}{q}. \quad (18-10)$$

تفرض المعادلة الأخيرة أن **التدفق المغناطيسي** من خلال الحلقة يمكن أن يتغير بوحدات من  $h/q$  فقط، إذا كانت كثافة التيار في التكامل الأول في المعادلة (18-10) ثابتة.

يمكنا أن نجري خطوة أخرى بعد، ونضع مسار التكامل الأول في المعادلة (18-10) في عمق الحلقة قليلاً، خلف تيارات الحجب تماماً، التي تتغلغل لنصل إلى عمق تغلغل لندن،  $L$ . عندها، وفي كثير من الحالات تكون كثافة التيار صغيرة للغاية لدرجة الإهمال، ومن ثم نحصل على المساواة الآتية:

$$\Phi_B = n(h/q). \quad (19-10)$$

→ هذا يعني أن **التدفق المغناطيسي** من خلال حلقة فائقة الناقلة مكمي *Quatized* بوحدات الـ  $h/q$ . وهذا ما تم إظهاره، على أرض الواقع، تجريبياً في عام 1961.

→ وجد أيضاً أن المساواة  $q = 2e$  تؤكد بطريقة رائعة وجود أزواج كوبر التي توقعت وجودها نظرية BSC.

→ إن ما يسمى **كوانتم التدفق** *Quantum Flux*، صغير جداً، من رتبة  $2.067 \times 10^{-15} \text{ T} \cdot \text{m}^2$

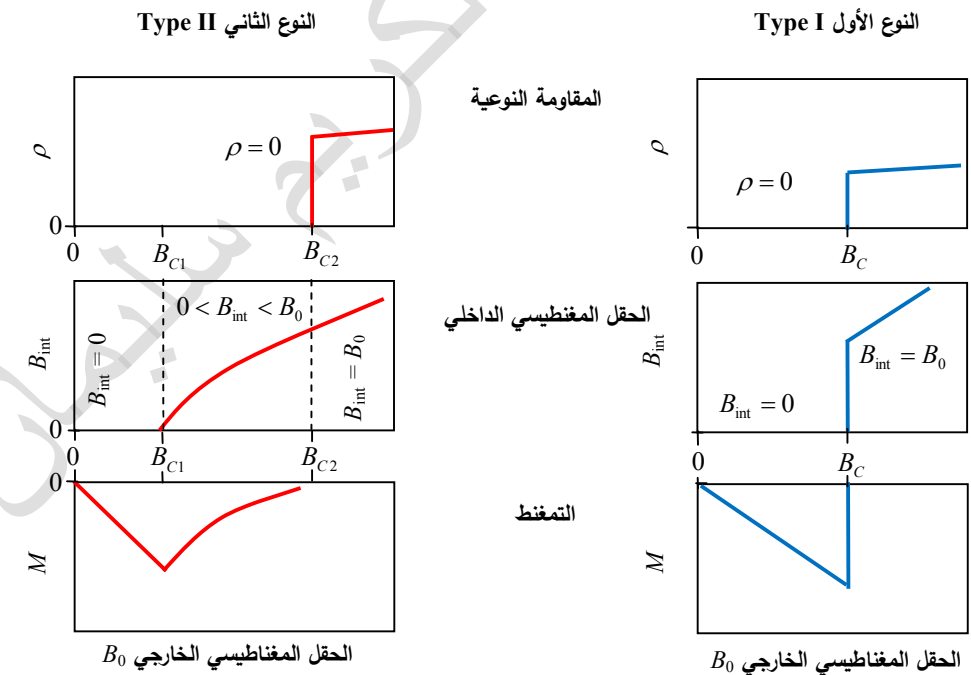
→ ولوضع هذه القيمة في سياقها، ندرس الحقل المغناطيسي الأرضي الذي يبلغ قيمةً من رتبة  $T = 10^{-5} \text{ T}$ ، مفترضين أن مساحة قدرها  $1 \text{ mm}^2$ ، تحتوي نحو  $10^4 \approx 10^4$  عشرة آلاف كوانتم تدفق. يمكن استثمار تماساك حالة الناقلة الفائقة في ما يسمى **نبائط (أجهزة) التداخل الكواونتي** *Quantum Interference Devices* (SQUIDS) التي يوضحها [الشكل \(12b-10\)](#). لا يمكننا هنا وصف كيفية عمل هذه النبائط بالتفصيل، ونكتفي بعرض الفكرة الرئيسية لمبدأ عملها، وهي كما يأتي:

- **تتألف** النبطة من "شوكتين" فائقي الناقلة **وطبقات أكسيد رقيقة** أو تماساك نقطية تقع بينهما (أي ما يسمى وصلات ضعيفة الارتباط Weak Links):
- **تستطيع** أزواج كوبر العبور بطريقة التفق عبر تلك الوصلات من ناقٍ فائقٍ لآخر وتوجد علاقة محددة بين طور حالة الناقلة الفائقة في إحدى الشوكتين **وطور** حالة الناقلة الفائقة في الشوكة الأخرى.
- إن **الحقل المغناطيسي** الذي يدخل منتصف التجويف الحلقة عمودياً **يؤدي** إلى ظهور تيار فائقٍ إضافي، **يُبقي** التدفق من خلال الحلقة من مضاعفات صحيحة لكونتم التدفق.

- وهذا بدوره يسبب فرق طورٍ بين التيار الذي يعبر إحدى الوصلتين الضعيفتين والتيار الآخر الذي يعبر الوصلة الضعيفة الأخرى.
- ثم إن التيار الأعظمي المتداهن من كامل النبطة يحدد بمقدار التداخل بين التيار "الأيسر" والتيار "الأيمن" ويرصد فيه تذبذبات تابعة للحقل المغناطيسي المطبق.
- وهذا يوافق كمّات تدفق فردية تدخل الحلقة.
- بهذه الطريقة يمكن قياس أي تغيرٍ يطرأ على الحقل المغناطيسي مهما كان صغيراً.
- إذن، نبأط التداخل الكوانتي فائقة الناقلة SQUIDs حساسة جداً للحقول المغناطيسية البالغة الصغر، ولذلك، يمكن استخدامها لقياس هذه الحقول الضعيفة جداً.

#### 10-5 النماذج الفائقة من النوع الأول والنوع الثاني :Type I and Type II Superconductors

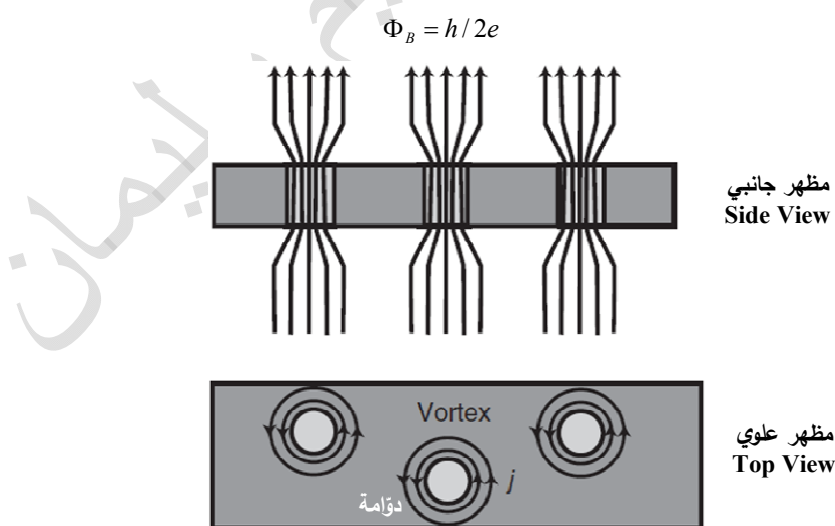
لقد فرضنا إلى الآن أنه ليس بمقدور حقل مغناطيسي الدخول في مادة وهي في حالة الناقلة الفائقة؛ إذ يطرد هذا الحقل بالكامل من قبل تيارات فائقة تتدفق بجوار سطح العينة. ولكن في حقيقة الأمر هذا ليس دائماً صحيحاً؛ إذ توجد فئة من النماذج الفائقة التي من أجلها بمقدور حقل مغناطيسي دخول العينة الحجمية، طالما أنها ما تزال في حالة الناقلة الفائقة. تسمى هذه النماذج الفائقة نماذج من النوع الثاني، في إشارة إلى وجود نماذج فائقة من النوع الأول ليس بمقدور الحقل المغناطيسي دخولها.



الشكل (10-13): المقاومة النوعية  $\rho$ ، والحقل الداخلي  $B_{int}$ ، والتمنغفط  $M$  كتابع لحقل مغناطيسي خارجي من أجل نماذج فائقة من النوعين الأول والثاني. افترضت درجة الحرارة صفر مطلق، بحيث تتصف المواد بناقلتها الفائقة في حال عدم تطبيق حقل خارجي. تمتلك مادة النوع الأول حقلأً حرجاً واحداً فقط  $B_C$ ، في حين أن مادة النوع الثاني فمتلك حقلين حرجين  $B_{C1}$  و  $B_{C2}$ .

**يوضح الشكل (10-13) سلوك ناقلٍ فائقٍ من النوع الأول وآخر من النوع الثاني بوجود حقل مغناطيسي خارجي في درجة الصفر المطلق:**

- ❖ من أجل المادة من **النوع الأول** تنهار الناقلة الفائقة عند حقلٍ أكبر من حقلٍ حرجٍ محددٍ،  $B_C$ .
  - ❖ ومن أجل الحقول الأخفاض من الحقل الحرج، تكون المادة فائقة الناقلة **وتعذر مغافتها بشكلٍ كاملٍ** بالحقل الخارجي، بحيث يكون داخل المادة خالياً منه.
  - ❖ أمّا من أجل الحقول الأعلى من الحقل الحرج، **يتلاشى التمغناط** ويُتغلّف **كامل الحقل** **الخارجي** في العينة.
  - ❖ والوضع مختلف من أجل النواقل الفائقة من **النوع الثاني**؛ إذ يوجد حقلان حرجان  $B_{C1}$  و  $B_{C2}$  تسلك المادة تحت الحقل  $B_{C1}$  سلوكاً مطابقاً لسلوك ناقل فائق من النوع الأول **وفوق** الحقل  $B_{C2}$  تُتربّب **الناقلة الفائقة**، ولكن ما بين هذين الحقلين، **يدخل** **الحقل المغناطيسي** **المادة جزئياً**. توجد مغففة محدودة ولكنها ليست كبيرة كافية لكي **تعذر** **الحقل** **الخارجي**.
- والنتيجة المهمة** هنا تكمن في أن **المقاومة النوعية** **تبقي صفرًا** بين هذين الحقلين الحرجين.
- ❖ إذا قارنا الحقل الحرج  $B_C$  من أجل ناقل فائق من النوع الأول مع الحقلين الحرجين من أجل مادة من النوع الثاني، فعادةً ما يكون أقرب بكثير إلى  $B_{C1}$  منه إلى  $B_{C2}$ .
  - ❖ وهذا يعني أن مادة النوع الثاني تستطيع تحمل حقلٍ مغناطيسيٍّ أعلى من الحقل المغناطيسي الذي بمقدور مادة النوع الأول أن تتحمله، وهو ما تزالان في حالة الناقلة الفائقة.
  - ❖ إن هذه الخاصية تجعل من النواقل الفائقة من النوع الثاني مواداً هامةً جداً من أجل التطبيقات التكنولوجية؛ **كالملفات المستعملة في صناعة المغناط الكهربائية** **فائقة الناقلة**، حيث أن مواد



الشكل (14-10): التدفق المغناطيسي في ناقلٍ فائقٍ من النوع الثاني. يتغلّف الحقل عبر شعيرات دقيقة من المادة في حالتها العادية (اللون الرمادي الفاتح) على الرغم من أن باقي المادة يبقى ناقلاً فائقاً (اللون الرمادي الغامق). ثُحاط الشعيرات بدؤمات من تيارٍ فائقٍ ثبقي باقي العينة خاليةً من الحقل.

النوع الثاني مثل  $\text{NbTi}$ , تُستعمل لهذا الغرض حيث تزيد الحقول المغناطيسية فيها عن  $10\text{ T}$ .

**كيف يمكن للناقلية الفائقة أن "تنجو من" (تحمّل) حقل مغناطيسي يدخل مادة من النوع الثاني؟**

الشكل (14-10) يوضح الجواب على هذا السؤال:

→ يتغلغل الحقل من خلال شعيرات دقيقة جداً **Very Thin Filaments** من مادة في حالة الناقلية العادية (مادة الحالة العادية)، على الرغم من أن باقي العينة، يبقى ناقلاً فائقاً.

→ وشعيرات مادة الحالة العادية محاطة بدوارات (دوامات) تيارٍ فائقٍ، بحيث يبقى باقي المادة خالياً من الحقل ويحافظ على حالة الناقلية الفائقة.

→ يبدو أن الشعيرات تحوي كم تدفقٍ مغناطيسيٍ واحدٍ فقط،

→ ولذلك، كلما كانت الحقول الخارجية **أقوى** وجب إدخال دوامات أكثر.

→ **وفي نهاية المطاف** تُصبح كثافة الدوامات كبيرة إلى درجةٍ تتلاشى عندها مجالات الناقلية الفائقة للعينة.

إن وجود الدوامات في الناقل الفائق يُعد مشكلة بالنسبة للناقلية الفائقة بحد ذاتها.

- فحالما يمر تيارٌ في المادة، **فإن قوّة** مشابهة لقوّة لورانتر **تؤثر** في الدوامات جاعلة إياها تتنقل عمودياً على التيار والحقول المغناطيسية؛

- وهذا الانتقال يؤدي إلى تبديل طaci، ومن ثم إلى مقاومة محدودة، حتى في حالة الناقلية الفائقة، وهذا بدوره يؤدي إلى **تخريب الناقلية الفائقة**.

غير أنه، **ثمة إمكانية لتفادي هذه الظاهرة**، تكمن في "ثبيت" الدوامات بكمية كافية من العيوب في البلورة؛ وعندما، **ثمة طاقة محددة ستكون مرتبطة بالدوامات غير المثبتة**، وطالما بقيت كثافة التيار صغيرة كفايةً، فإن **هذه الطاقة** لن تكون مُتأتحةً. ولذلك، تكون الناقل الفائق من النوع الثاني في التطبيقات التكنولوجية بعيدةً عن البلورات الأحادية **Single Crystals** المطلوب، مخالف لهذه البلورات تماماً، إذ يجب أن تحوي المواد عدداً كافياً من العيوب؛ كالحدود الحبيبية بعرض ثبيت الدوامات بفعالية.

**الفارق** بين أن تكون مادة من النوع الأول أو من النوع الثاني، **يتعلق** بالنسبة بين معياري الطول المميزين؛ هما **عمق تغلف لندن**،  $L$ ، **وطول التماسك**،  $\lambda$ ، في نظرية غرينبرغ-لانداو.

→ لقد وجدنا أن  $\lambda$  يعطي مجال الطول الذي يمكن أن تتغير فيه كثافة أزواج كوبر بشكل ملحوظ.

→ ومن أجل دراستنا البسيطة هنا، من المناسب عد **طول التماسك بمثابة المسافة** بين **الإلكترونين في زوج كوبر**، الذي قررنا قيمته من رتبة نحو  $100\text{ nm}$ .

- فعندما يكون  $\lambda$  أقصر من  $L$ ، يُصبح تشكّل شعيرات الحالة العادية المحاطة

بتيارات فائقة مفضلاً، وتسعى المادة لأن تكون ناقلاً فائقاً من النوع الثاني؛

- أمّا إذا كان  $\lambda$  أطول من  $L$ ، فإن تشكّل الشعيرات لن يكون مفضلاً وتكون المادة ناقلاً فائقاً من النوع الأول.

- عدم الانظام يسعى لتخفيض طول التماسك،  $\zeta$  ، ولذلك الكثير من الخلائق المعدنية الانقلالية هي نواقل فائقة من النوع الثاني.

حسن عبد الكريم سليمان



مكتبة  
A to Z